



Роль кластеризации в структуре тяжелых атомных ядер.

Т. М. Шнейдман

Лаборатория теоретической физики им. Н.Н. Боголюбова,

ОИЯИ

Содержание:

- ✓ **Коллективные возбуждения атомных ядер**
- ✓ Кластеризация и ее роль в структуре ядер
- ✓ **Кластерные степени свободы в модели ДЯС**
- ✓ Описание спектров коллективных возбуждений тяжелых ядер в кластерной модели.

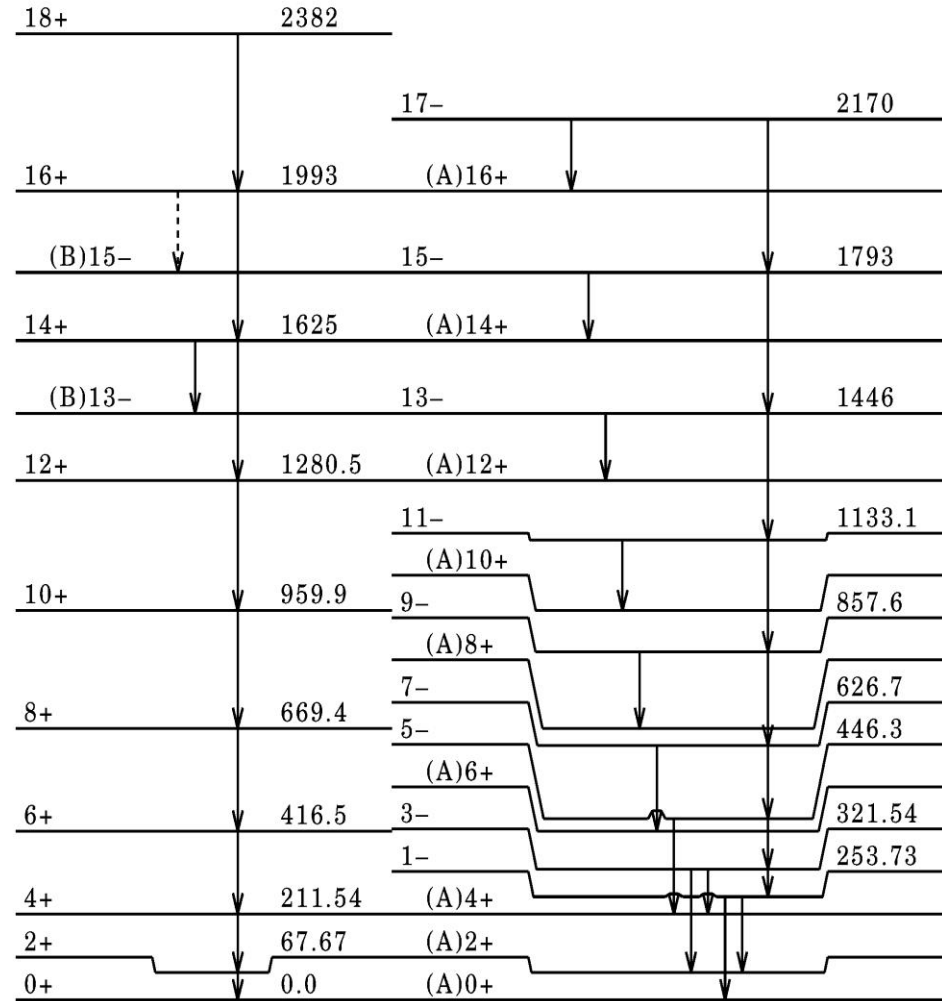
Excitation Spectrum of Deformed Nucleus

States are marked as

L^p

L - angular momentum,

$p = \pm 1$ - parity



Mean Field Models

$$\sum_{i=1}^A \left(-\frac{\hbar^2 \Delta_i}{2m_i} \right) \psi_{nucleus} + \frac{1}{2} \sum_{i=1}^A \sum_{j=1}^A V(\vec{r}_i - \vec{r}_j) \psi_{nucleus} = E_{nucleus} \psi_{nucleus}$$

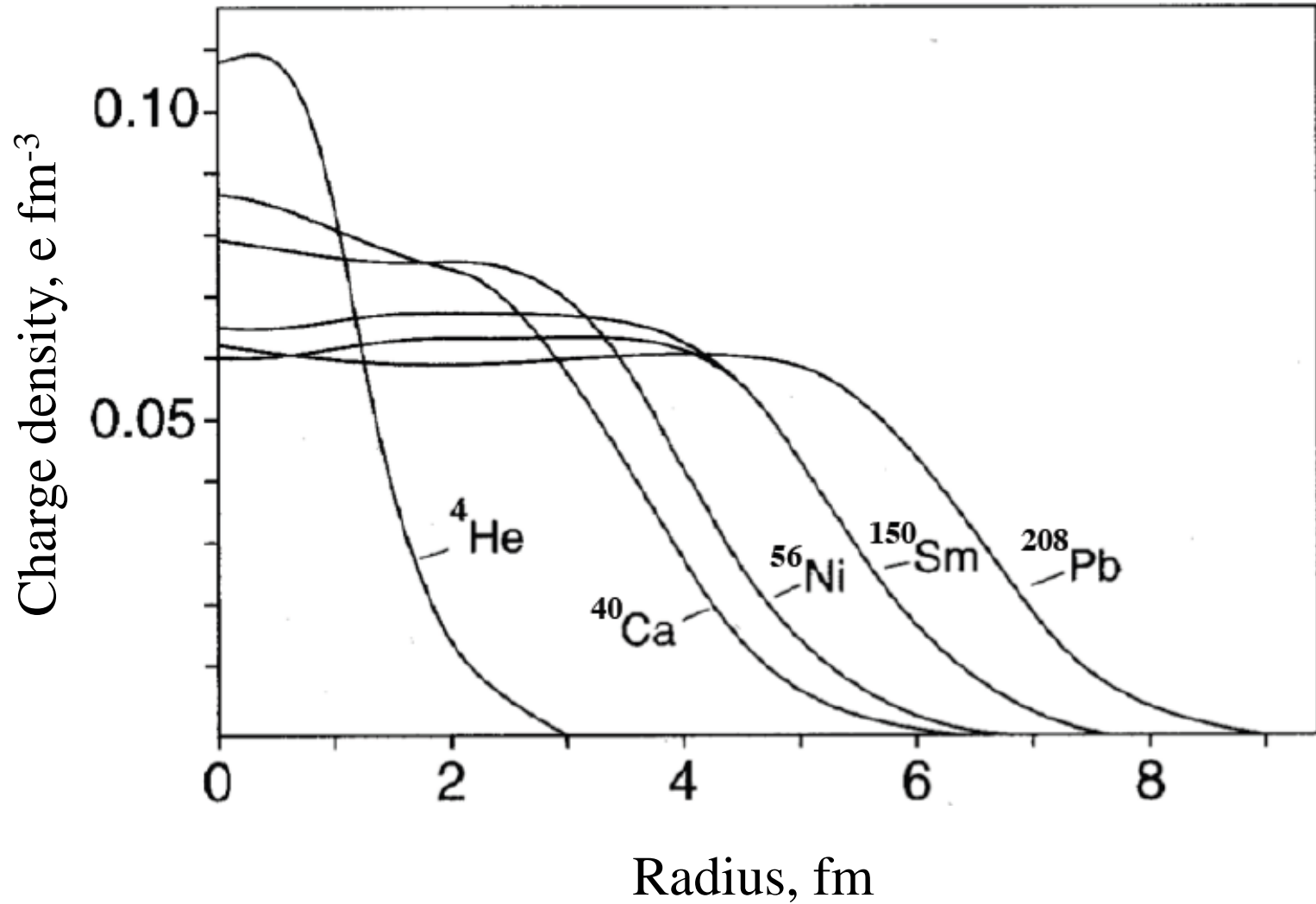
In the mean field model the interaction between nucleons are approximated by the average field (mean field).

Nucleons are moving independently in the mean field.

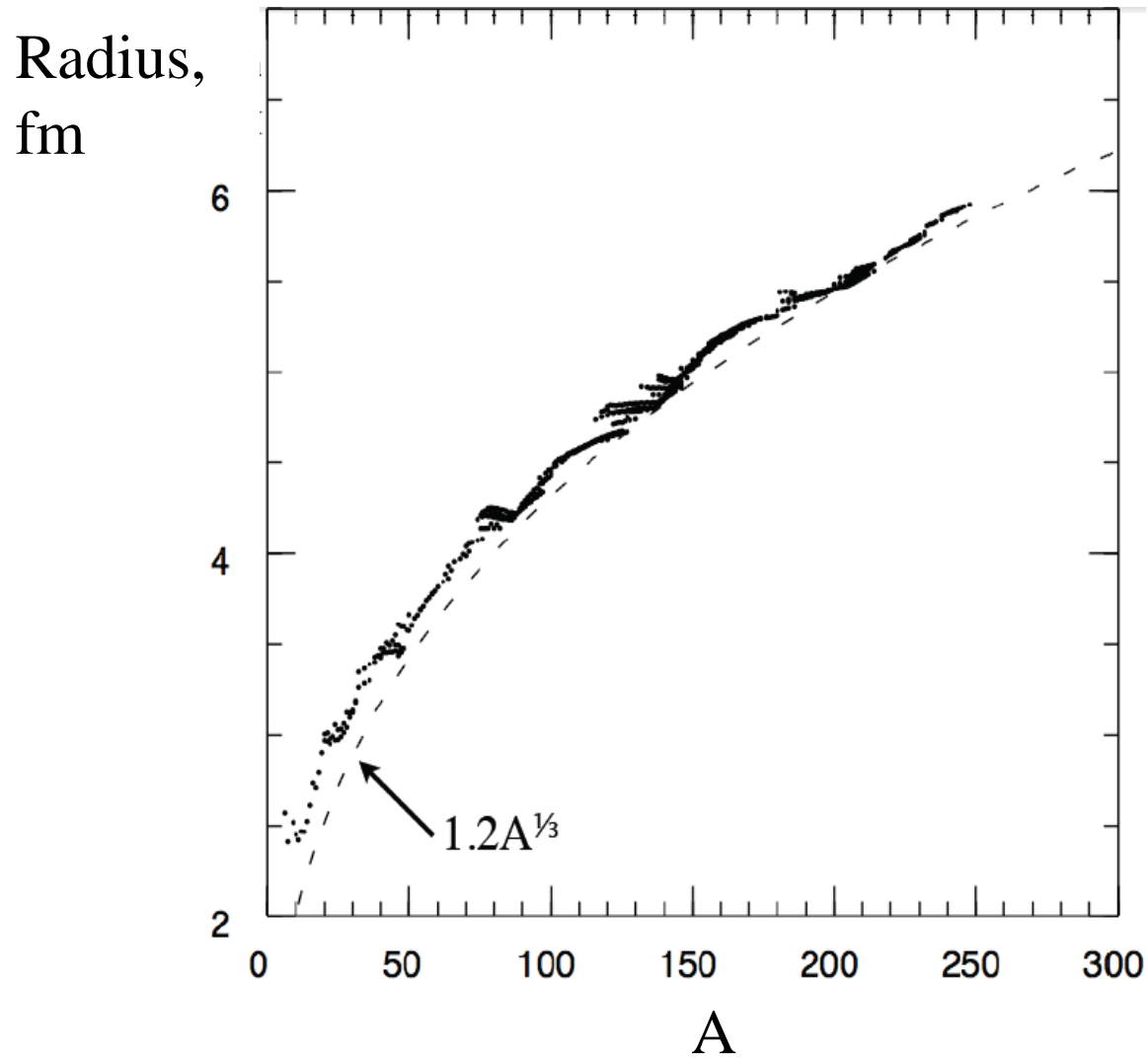
$$\frac{1}{2} \sum_{i=1}^A \sum_{j=1}^A V(\vec{r}_i - \vec{r}_j) \Rightarrow \sum_{j=1}^A U_{av}(\vec{r}_i)$$

Nuclear Schrödinger equation is reduced to the A independent equations for each nucleon.

Density is almost constant inside



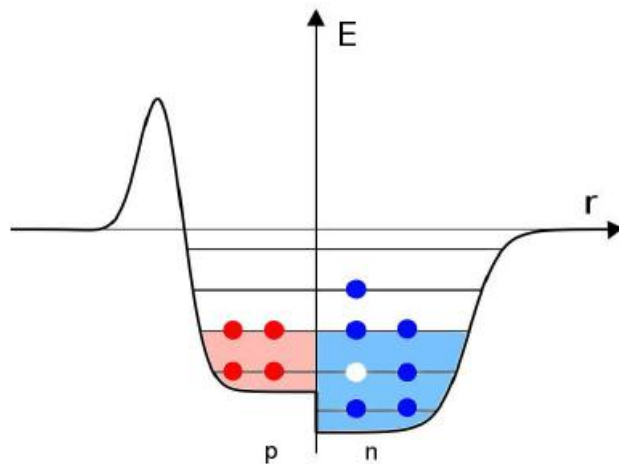
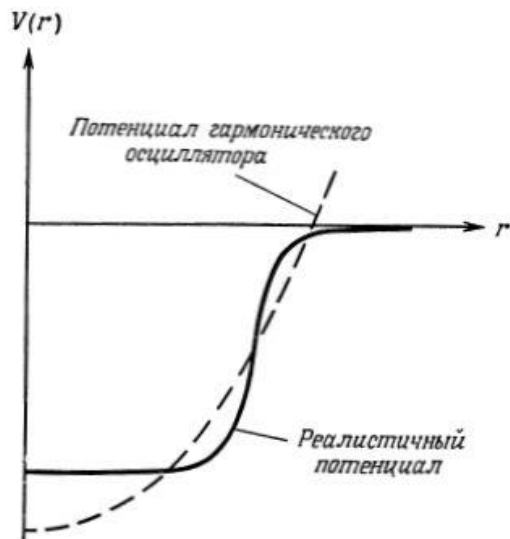
Volume grows linearly with mass



For nuclei with $A > 20$

$$R \approx 1.2A^{1/3}$$

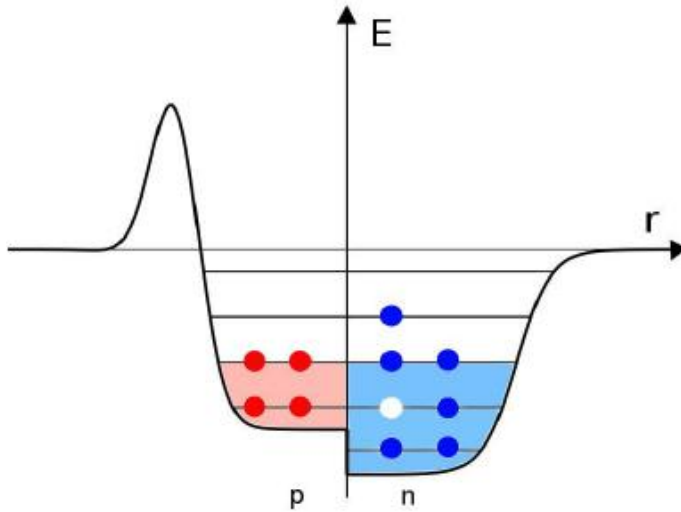
Nuclear excitations



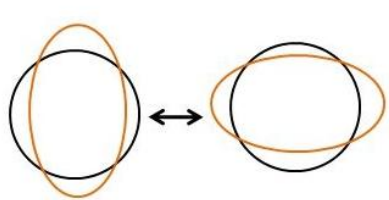
6 ⁺	4s	3d _{3/2}	4s _{1/2}	4	168
	3d	2g _{7/2}	1i _{11/2}	2	
	2g	3d _{5/2}	2g _{9/2}	8	
	1i			12	
5 ⁻	3p	1i _{13/2}	3p _{3/2}	6	126
	2f	3p _{1/2}	2f _{5/2}	2	
		2f _{7/2}	1h _{9/2}	4	
	1h			8	
4 ⁺	3s	1h _{11/2}	3s _{1/2}	12	82
	2d	2d _{3/2}	2d _{5/2}	2	
		1g _{7/2}		4	
	1g			6	
3 ⁻	2p	1g _{9/2}	2p _{1/2}	10	50
	1f	2p _{3/2}	1f _{5/2}	2	
		1f _{7/2}		6	
				4	
2 ⁺	2s	1d _{3/2}	2s _{1/2}	4	20
	1d	1d _{5/2}		2	
				2	
				6	
1 ⁻	1p	1p _{1/2}	1p _{3/2}	2	8
				4	
0 ⁺	1s	1s _{1/2}		2	2

Nuclear excitations

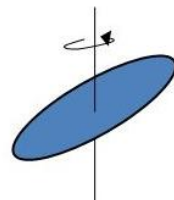
Single-particle excitations



Collective excitations

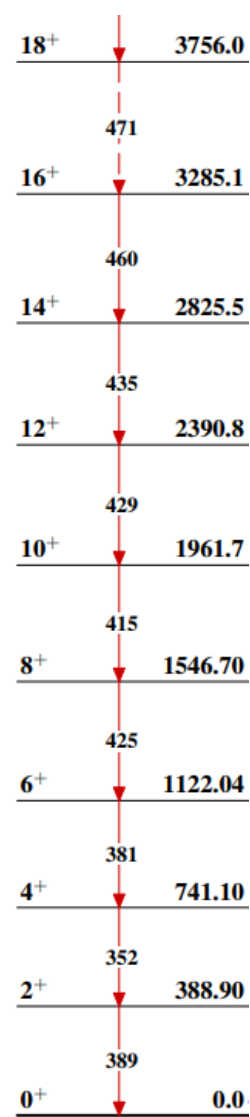


Vibrations

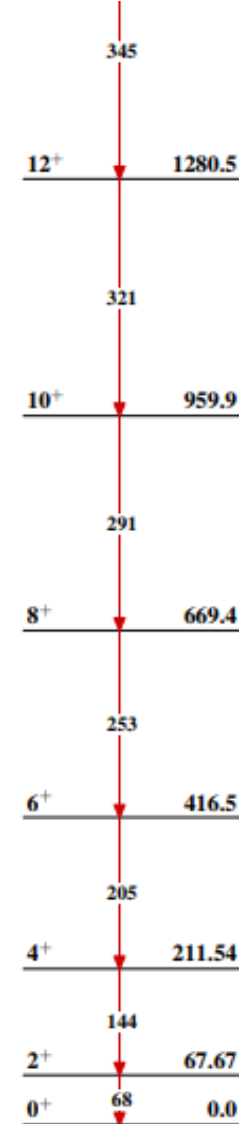


Rotations

The excited nucleus is unstable and can be de-excited by emission of γ

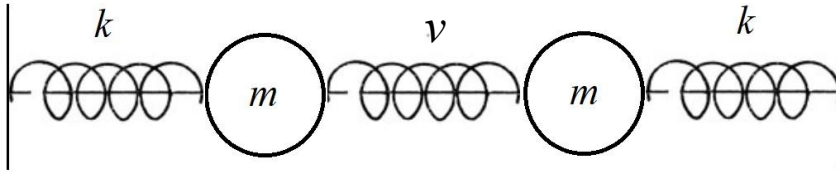


²¹⁸Ra₈₈



²²⁶Ra₈₈

Lowering of collective excitations



$$L = T - U$$

$$T = \frac{1}{2} m \dot{x}_1^2 + \frac{1}{2} m \dot{x}_2^2$$

$$U = \frac{1}{2} k x_1^2 + \frac{1}{2} k x_2^2 - \frac{1}{2} v (x_1 - x_2)^2$$

$$\begin{cases} m \ddot{x}_1 = -k x_1 + v(x_1 - x_2) \\ m \ddot{x}_2 = -k x_2 - v(x_1 - x_2) \end{cases}$$

$$\begin{cases} X = x_1 + x_2 \\ Y = x_1 - x_2 \end{cases}$$

$$\begin{cases} m \ddot{X} = -k X \\ m \ddot{Y} = -(k - 2v) Y \end{cases}$$

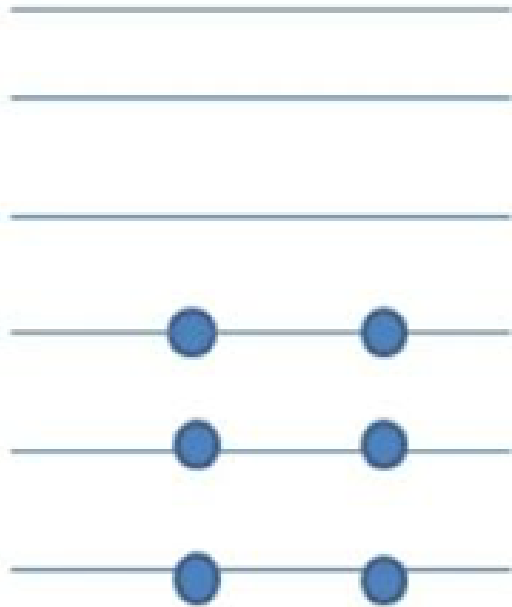
Interaction between the oscillators
Leads to a lowering of the vibrational mode

$$\omega_X = \sqrt{k / m}$$

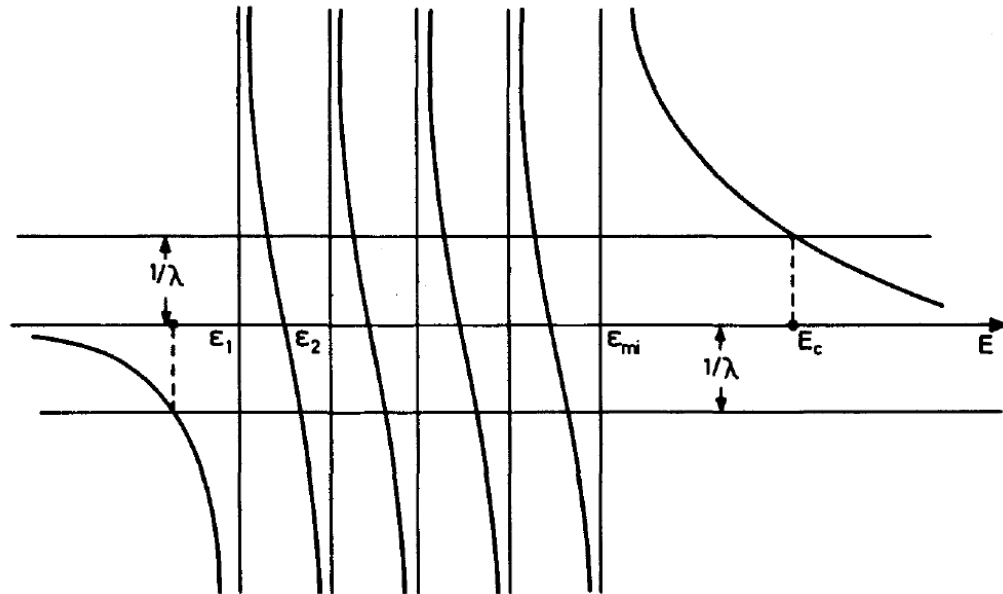
$$\omega_Y = \sqrt{(k - 2v) / m}$$

Lowering of collective excitations (Tamm-Dancoff method)

$$V(1,2) = \lambda(Q(1) \cdot Q(2))$$



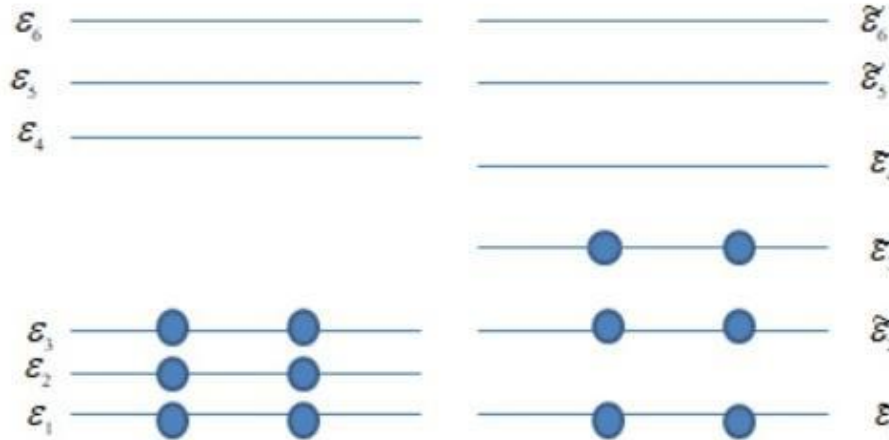
$$\frac{1}{\lambda} = \sum_{mi} \frac{|\langle m | Q | i \rangle|^2}{E - \varepsilon_m + \varepsilon_i}$$



$$E_c = \varepsilon + \lambda \sum_{mi} |\langle m | Q | i \rangle|^2$$

Residual interaction

$$V_{res} = \frac{1}{2} \sum_{i=1}^A \sum_{j=1}^A V(\vec{r}_i - \vec{r}_j) - \sum_{j=1}^A U_{av}(\vec{r}_i)$$



$$\begin{aligned} \langle \Psi_{fin} | V | \Psi_{in} \rangle &= \int e^{-i(\mathbf{p}'_1 \mathbf{r}_1 + \mathbf{p}'_2 \mathbf{r}_2)} V(|\mathbf{r}_1 - \mathbf{r}_2|) e^{i(\mathbf{p}_1 \mathbf{r}_1 + \mathbf{p}_2 \mathbf{r}_2)} d\mathbf{r}_1 d\mathbf{r}_2 \\ &\sim -V_0 \int d\mathbf{r} e^{-i\mathbf{p}\mathbf{r}} e^{-r^2/\mu^2} = -V_0 \int d\mathbf{r} e^{-(r + \frac{i}{2}\mathbf{p}\mu^2)^2/\mu^2} e^{-p^2\mu^2/4} \\ &= -\pi^3/2\mu^3 V_0 e^{-p^2\mu^2/4}. \end{aligned}$$

Residual interaction

$$V(|\vec{r}_1 - \vec{r}_2|) = \sum_l V_l(r_1, r_2) \sum_m Y_{lm}^*(\theta_1, \phi_1) Y_{lm}(\theta_2, \phi_2)$$

$$= \sum_l \frac{4\pi}{2l+1} V_l(r_1, r_2) P_l(\cos\theta_{12})$$

For δ -force:

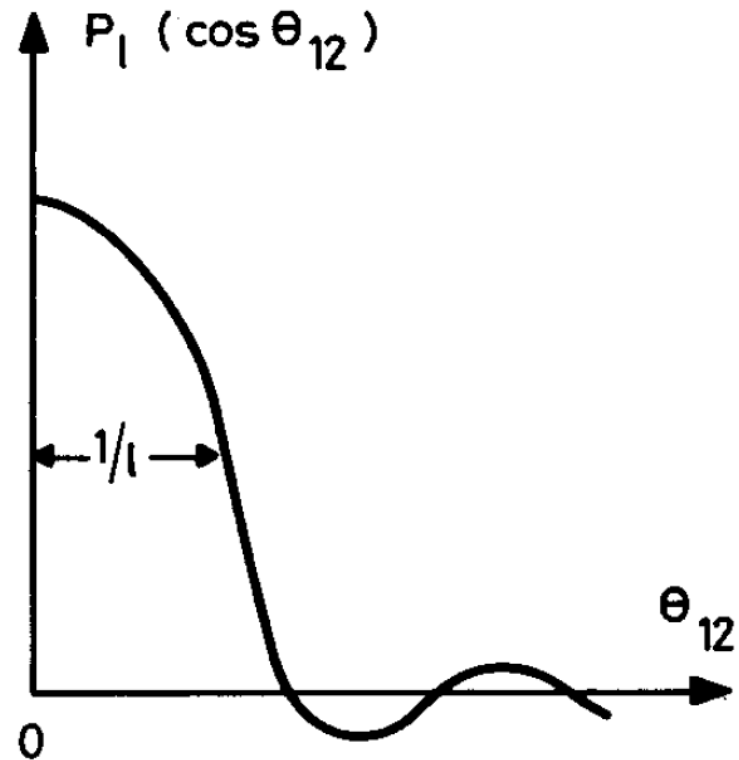
$$V(|\vec{r}_1 - \vec{r}_2|) = -V_0 \delta(\vec{r}_1 - \vec{r}_2)$$

$$= \sum_l \frac{4\pi}{2l+1} \frac{\delta(r_1 - r_2)}{r_1 r_2} P_l(\cos\theta_{12})$$

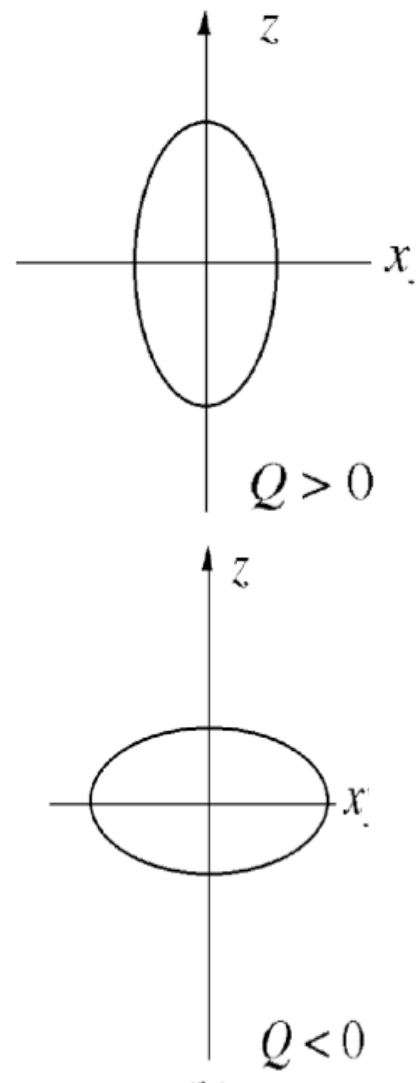
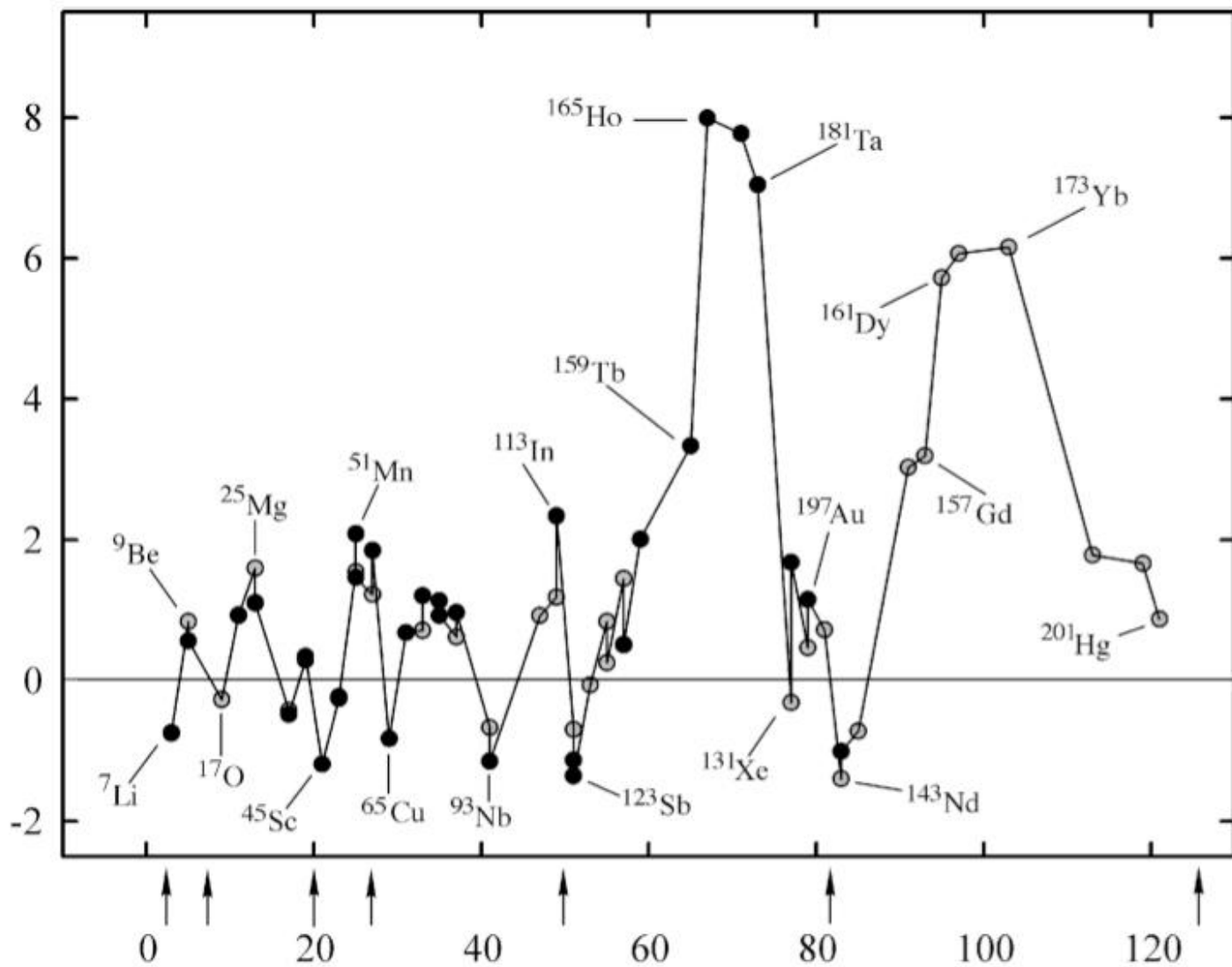
$l=2,3$

long-range **quadrupole and octupole** interactions.

All the rest is replaced by the short-range **pairing interaction**.

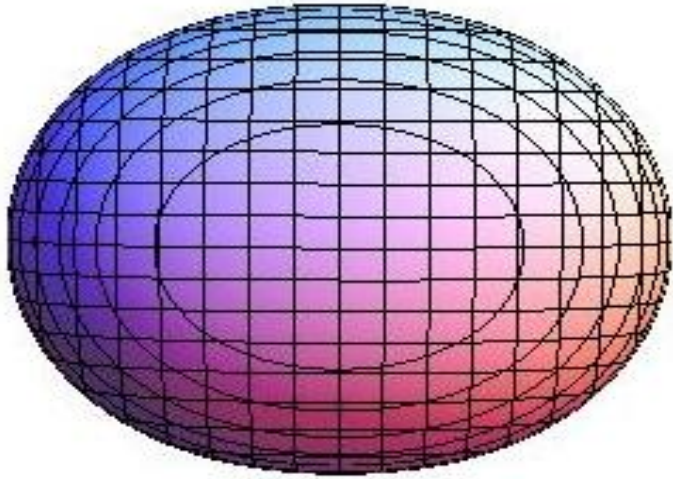


Nuclear Deformation



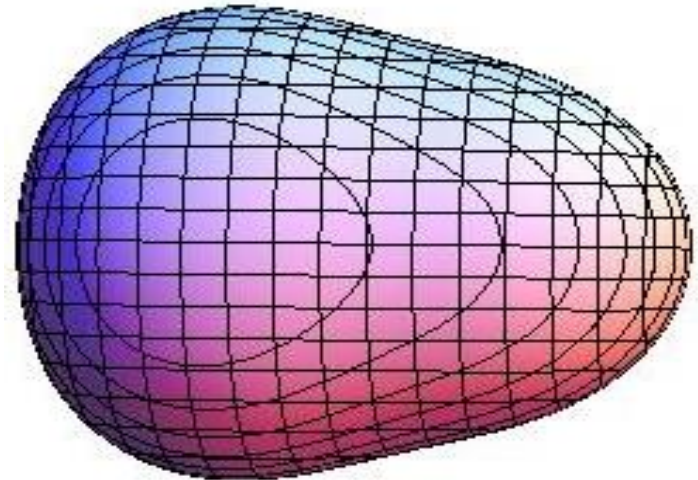
Nuclear Deformation

$$R(\Omega) = c(\beta)R_0 \left[1 + \sum_{\mu=-2}^2 \beta_{2\mu} Y_{2\mu}^*(\Omega) + \sum_{\mu=-3}^3 \beta_{3\mu} Y_{3\mu}^*(\Omega) \right]$$



Quadrupole deformation

$$\beta_{20}=0.6, \beta_{30}=0.0$$



Quadrupole + Octupole deformation

$$\beta_{20}=0.6, \beta_{30}=0.5$$

Collective quadrupole vibrations

For small oscillations about spherical equilibrium:

$$H = \frac{1}{2} D \sum_m |\dot{\beta}_{2m}|^2 + \frac{1}{2} C \sum_m |\beta_{2m}|^2$$

Pauli quantization procedure:

$$T = \frac{1}{2} \sum_{\mu\nu} g_{\mu\nu}(\{q\}) \dot{q}_\mu \dot{q}_\nu \leftrightarrow \hat{T} = -\frac{\hbar^2}{2} \sum_{\mu\nu} \frac{1}{\sqrt{\det g}} \frac{\partial}{\partial q_\mu} \sqrt{\det g} g_{\mu\nu}^{-1} \frac{\partial}{\partial q_\nu}$$

and the volume element is $d\tau = |\sqrt{\det g}| \prod_\mu q_\mu$.

$$\hat{H} = \frac{\hbar^2}{2} D \sum_m (-1)^m \frac{\partial}{\partial \beta_{2m}} \frac{\partial}{\partial \beta_{2-m}} + \frac{1}{2} C \sum_m |\beta_{2m}|^2$$

$|0^+\rangle$

$|2^+ M, E = \sqrt{C/D}\rangle = \beta_{2M}^+ |0^+\rangle$

$|L^+ M, E = 2\sqrt{C/D}\rangle = \sum_{\mu\nu} C_{2\mu 2\nu}^{LM} \beta_{2\mu}^+ \beta_{2\nu}^+ |0^+\rangle, L = 0, 2, 4$

Collective quadrupole rotation

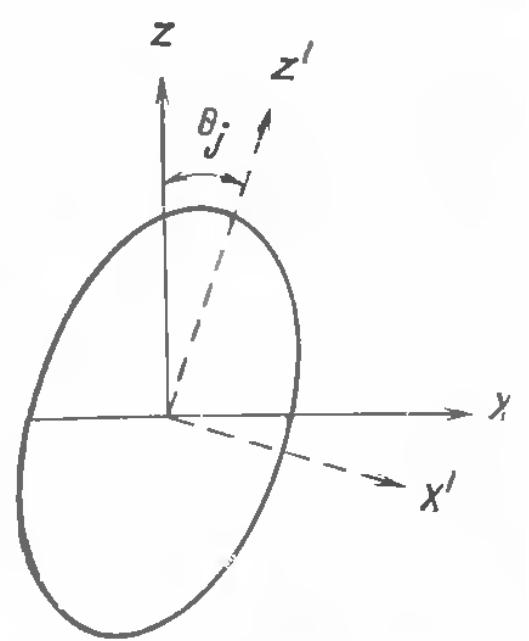
If nucleus is deformed, the Hamiltonian should be transformed into the intrinsic coordinate system:

$$\beta_{2m} = \sum_{\mu} D_{m\mu}^2(\theta_1, \theta_2, \theta_3) \bar{\beta}_{2\mu},$$

$$\bar{\beta}_{20} = \beta \cos(\gamma),$$

$$\bar{\beta}_{21} = \bar{\beta}_{2-1} = 0,$$

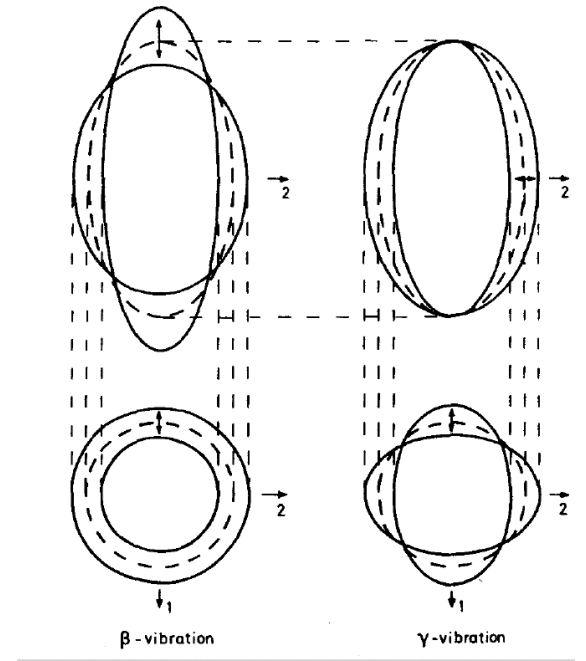
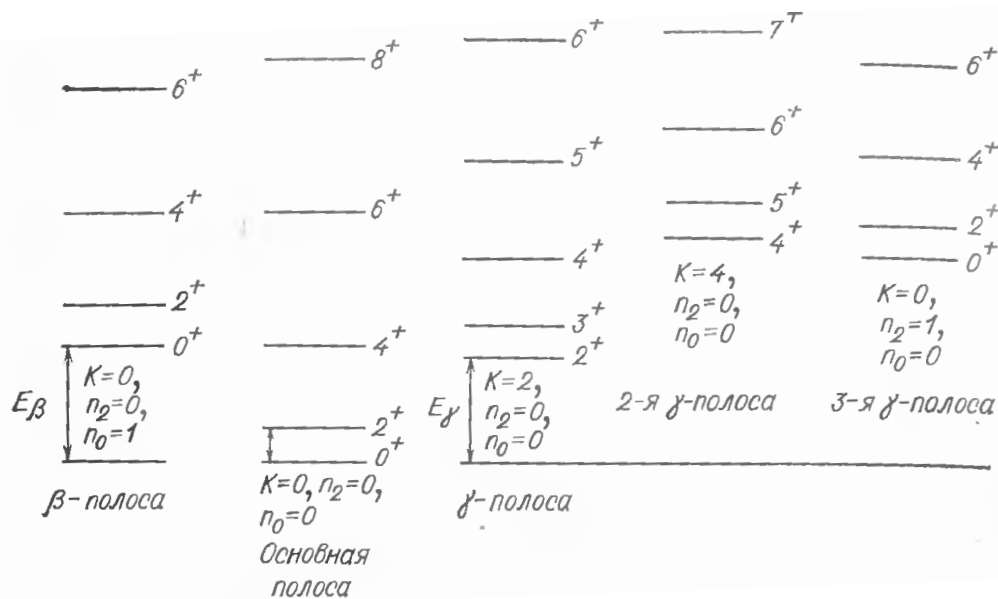
$$\bar{\beta}_{22} = \bar{\beta}_{2-2} = \frac{1}{\sqrt{2}} \beta \sin(\gamma)$$



$$H = \frac{1}{2} \sum_{k=1}^3 I_k \omega_k + \frac{1}{2} D(\dot{\beta}^2 + \beta^2 \dot{\gamma}^2) + \frac{1}{2} C_0 (\beta - \beta_0)^2 + \frac{1}{2} C_2 \gamma^2$$

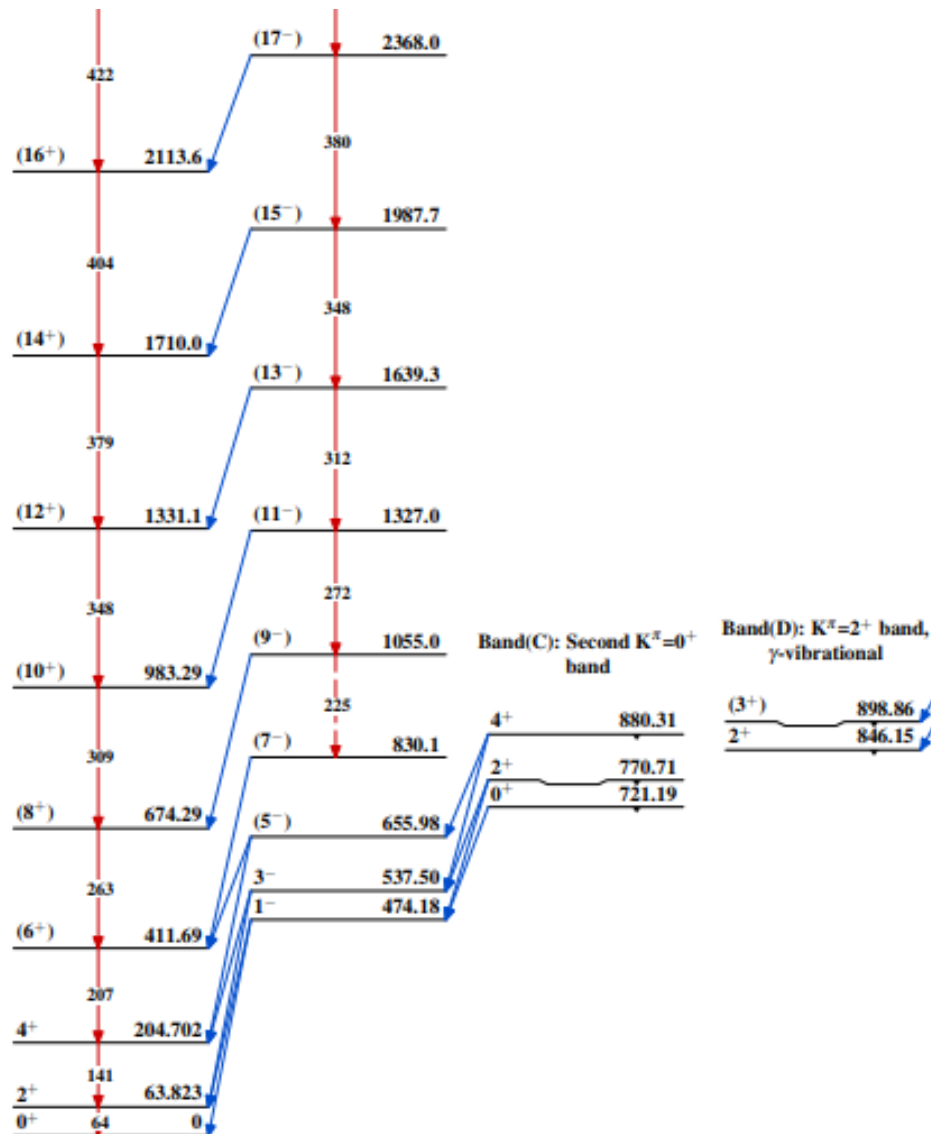
Collective quadrupole rotation (Bohr Hamiltonian)

$$\hat{H} = \frac{\hbar^2}{2} \sum_{k=1}^3 \frac{\hat{l}_k^2}{I_k(\beta, \gamma)} - \frac{\hbar^2}{2D} \left(\frac{1}{\beta^4} \frac{\partial}{\partial \beta} \beta^4 \frac{\partial}{\partial \beta} + \frac{1}{\beta^2} \frac{1}{\sin 3\gamma} \frac{\partial}{\partial \gamma} \sin 3\gamma \frac{\partial}{\partial \gamma} \right) + V(\beta, \gamma)$$



$$E_{L n_\beta n_\gamma} = \frac{\hbar^2}{2I_0} (L(L+1) - K^2) + \hbar \sqrt{\frac{C_0}{D}} \left(n_\beta + \frac{1}{2} \right) + \hbar \sqrt{\frac{C_2}{D}} \left(n_\gamma + \left| \frac{K}{2} \right| + 1 \right)$$

Excitation spectrum of deformed nucleus

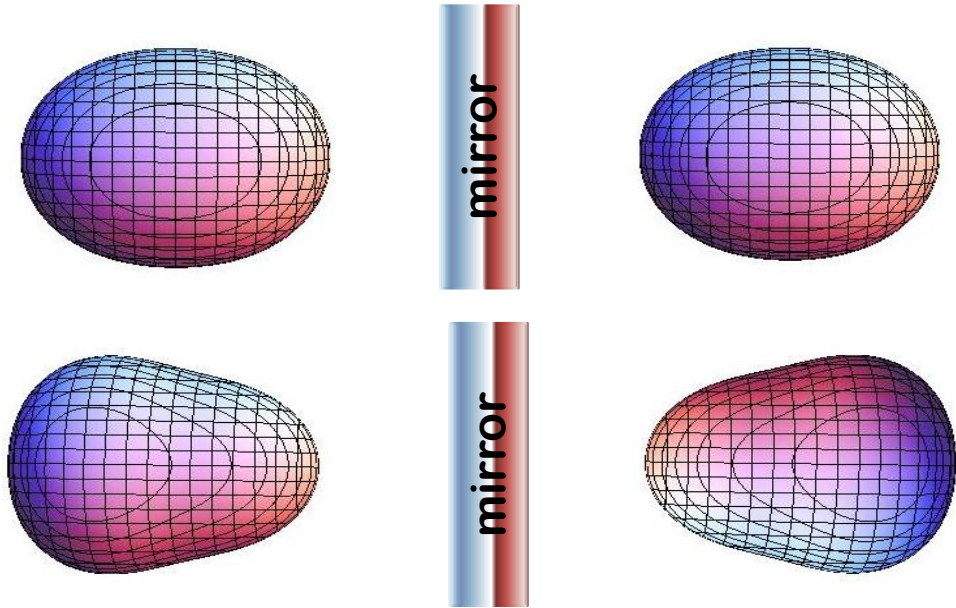


Reflection-Asymmetric Shapes

Parity:

$$\hat{P}\Psi(\mathbf{r}) = \Psi(-\mathbf{r}) = p\Psi(\mathbf{r})$$

$$\hat{P}\hat{P}\Psi(\mathbf{r}) = p^2\Psi(\mathbf{r}) = \Psi(\mathbf{r}); \quad p = \pm 1$$



In strong and e.-m. interactions parity is a good quantum number.

Quadrupole deformation (lowest excitations): $0^+, 2^+, 4^+, \dots$

Octupole deformation (lowest excitations): $0^+, 1^-, 2^+, 3^+, 4^+$

Деформация, нарушающая зеркальную симметрию

$$\Psi_{p,IMK} = \sqrt{\frac{2I+1}{16\pi^2}} \left(\Phi_{n,K}(\xi) D_{MK}^I + p(-1)^{I+K} \Phi_{n,\bar{K}}(\xi) D_{M,-K}^I \right)$$

Wave function in ξ defined by the equation:

$$\left(-\frac{\hbar^2}{2B_\xi} \frac{d^2}{d\xi^2} + U(\xi) + \frac{\hbar^2}{2\mathfrak{I}(\xi)} I(I+1) \right) \Psi_{n,K}(\xi) = E_{n,K} \Psi_{n,K}(\xi),$$

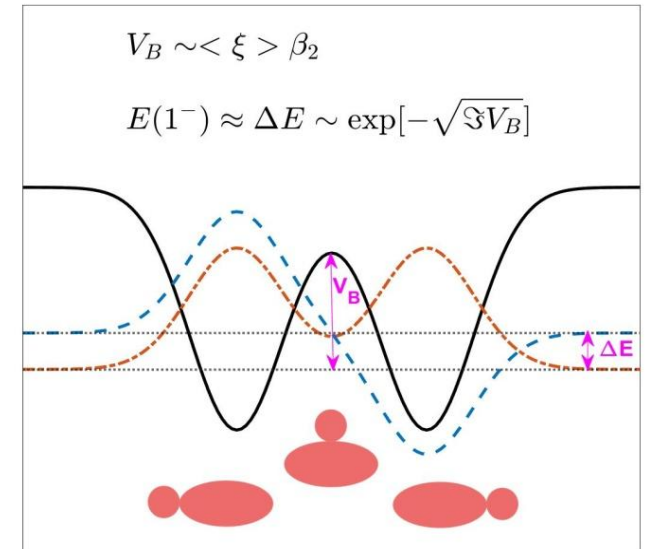
where

$$\mathfrak{I}(\xi) = 0.85(\mathfrak{I}_1^r + \mathfrak{I}_2^r + m_0 \frac{A_1 A_2}{A} R^2)$$

Excitation spectra:

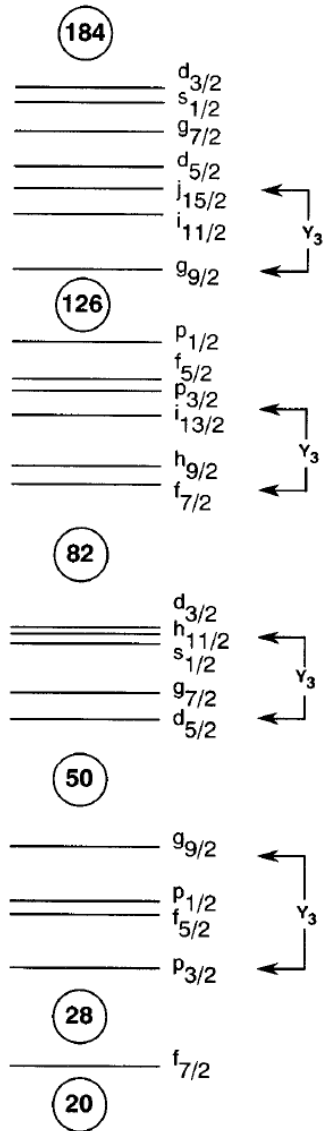
$$I^p(\text{ for } K=0) = 0^+, 1^-, 2^+ \dots$$

$$I^p(\text{ for } K \neq 0) = K^\pm, (K+1)^\pm \dots$$



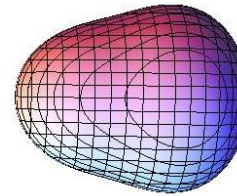
$$\hat{P} \cdot \hat{R}_y(\pi) \rightarrow p(-1)^{I+K} = 1$$

Low-energy collective states of negative parity



Octupole deformation

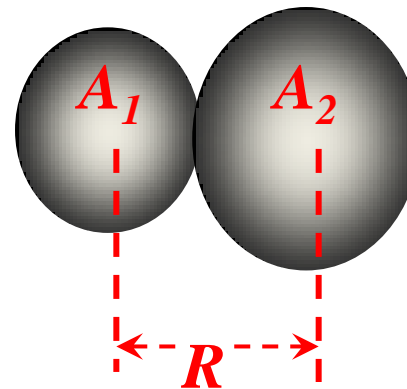
$$R(\Omega) = c(\beta)R_0 \left[1 + \sum_{\mu=-2}^2 \beta_{2\mu} Y_{2\mu}^*(\Omega) + \sum_{\mu=-3}^3 \beta_{3\mu} Y_{3\mu}^*(\Omega) \right]$$



$$\beta_{20}=0.6, \beta_{30}=0.5$$

$$N(Z) \approx 34, 56, 88, 134$$

Mass asymmetry

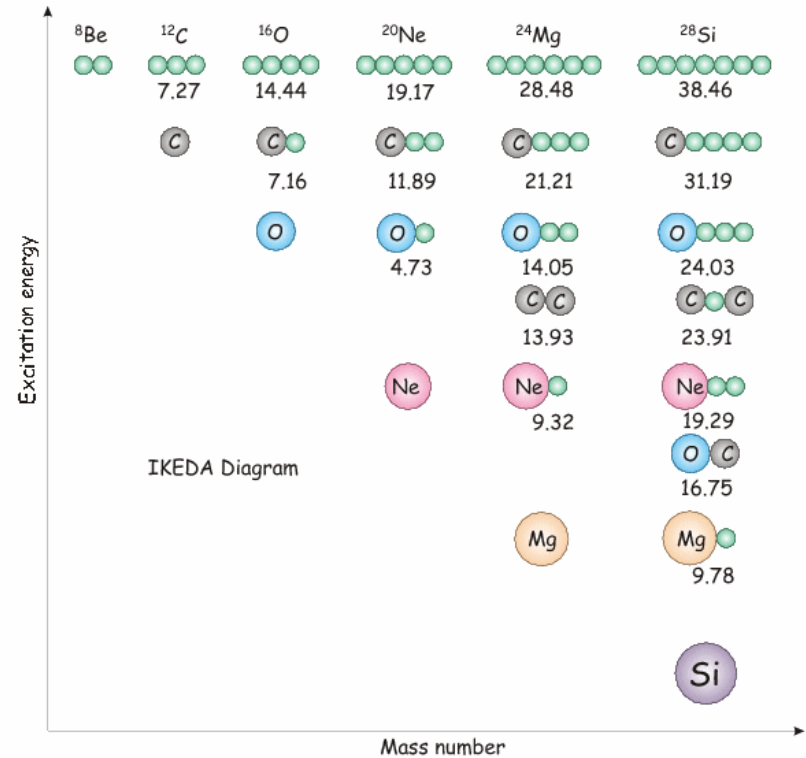
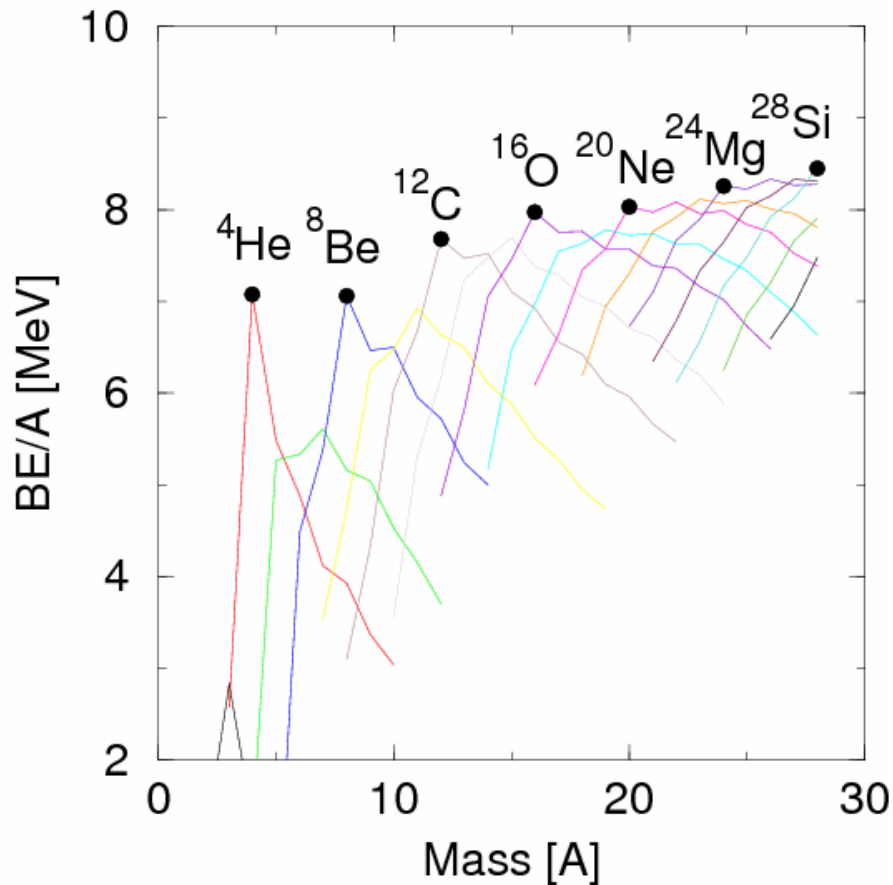


$$\xi = \frac{2A_1}{A_1 + A_2}$$

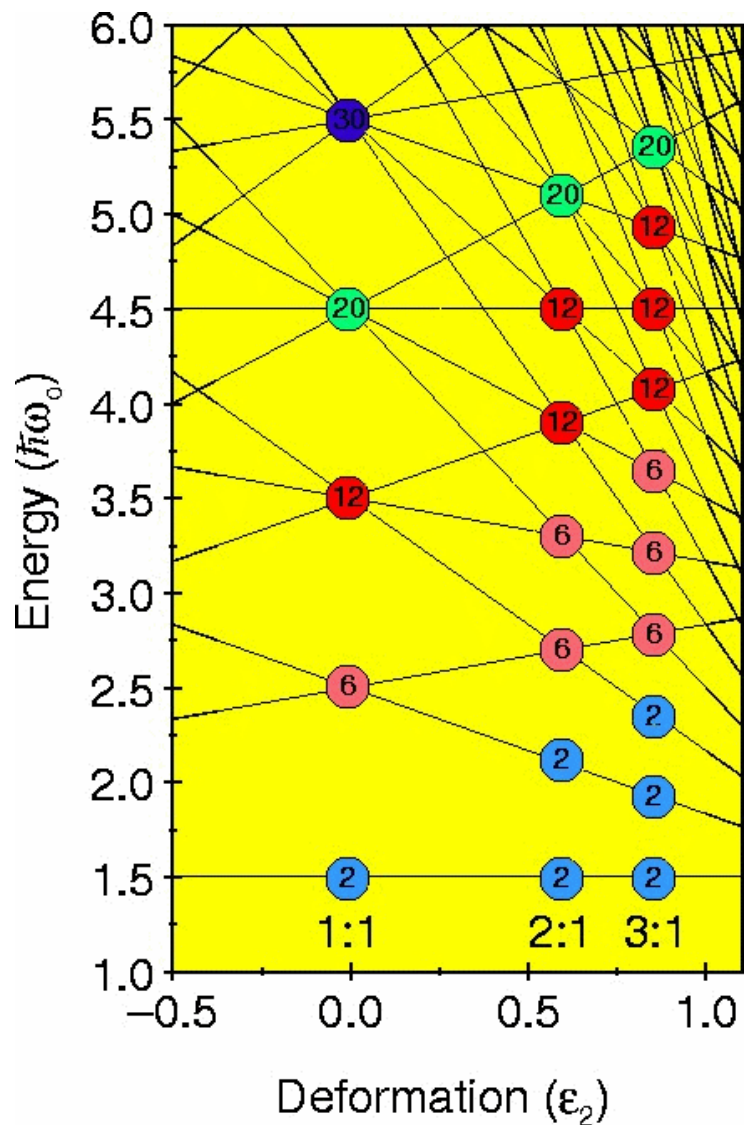
(fig. from: P.A.Butler, W. Nazarewicz,
Rev. Mod. Phys. 68, 349 (1996))

Кластеризация в легких ядрах

p-n притяжение намного сильнее чем *n-n* и *p-p*. Протон и нейтрон имеют связанное состояние 3S_1 с энергией связи 1.1 МэВ на нуклон (**дейтрон**). Это притяжение приводит к сильным пространственным корреляциям между валентными нейтронами и протонами, т.е. к формированию кластеров (**ядерных молекул**).



Кластеризация и деформация.



Deformed
magic
numbers

Spherical Magic
Numbers

Spherical
Constituents

N

**Superdeformation -
dimers**

4

2 + 2

$\alpha + \alpha$

10

8 + 2

$^{16}\text{O} + \alpha$

16

8 + 8

$^{16}\text{O} + ^{16}\text{O}$

28

8 + 20

$^{16}\text{O} + ^{40}\text{Ca}$

N

**Hyperdeformation,
chains**

6

2 + 2 + 2

$\alpha + \alpha + \alpha$

12

2 + 8 + 2

$\alpha + ^{16}\text{O} + \alpha$

24

8 + 8 + 8

$^{16}\text{O} + ^{16}\text{O} + ^{16}\text{O}$

36

8 + 20 + 8

$^{16}\text{O} + ^{40}\text{Ca} + ^{16}\text{O}$

48

20 + 8 + 20

$^{40}\text{Ca} + ^{16}\text{O} + ^{40}\text{Ca}$

60

20 + 20 + 20

$^{40}\text{Ca} + ^{40}\text{Ca} + ^{40}\text{Ca}$

Модели среднего поля и кластеризация

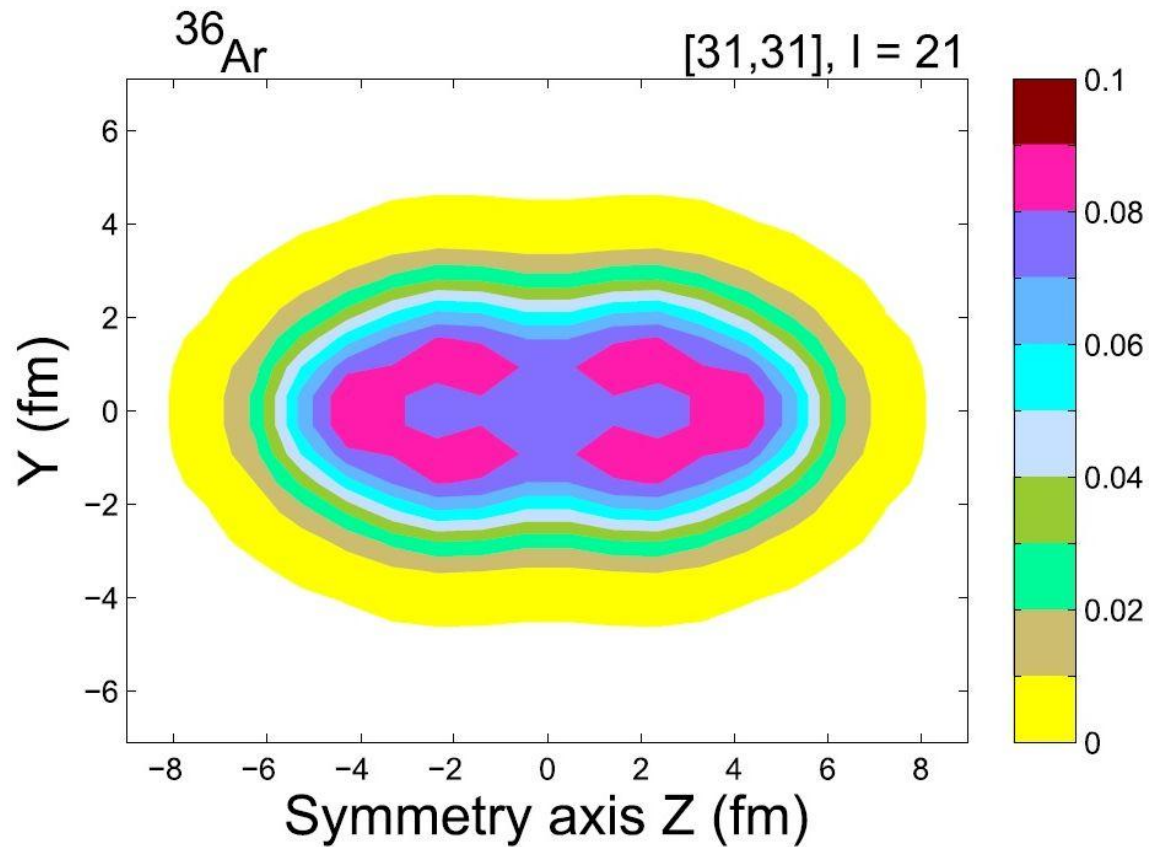
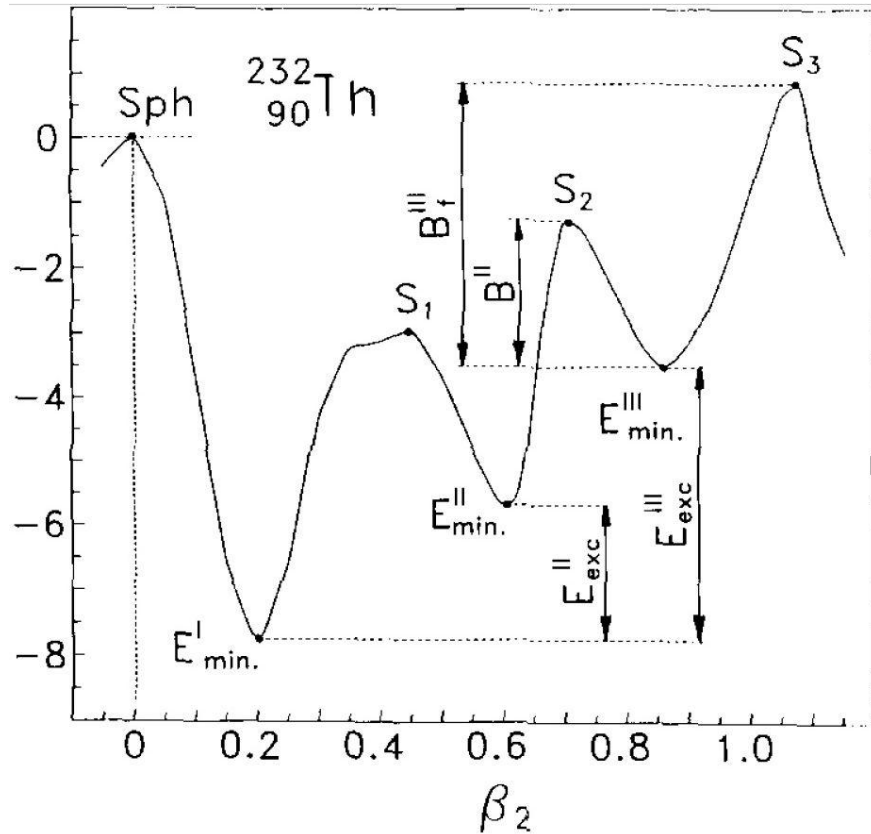


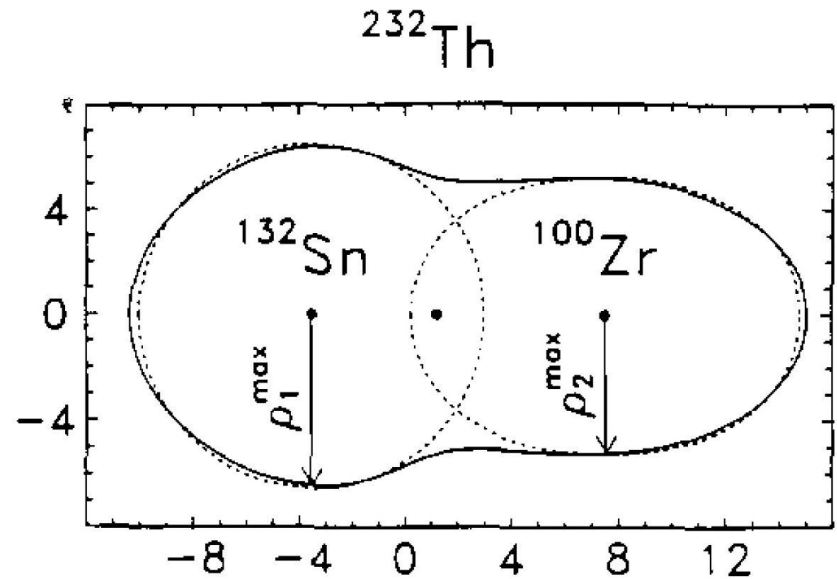
Figure 2. Total neutron density (in fm^{-3}) of the megadeformed [31, 31] configuration in ^{36}Ar obtained in the CRMF calculations with the NL3* functional.

Модели среднего поля и кластеризация

- Гипердеформированные состояния ядра приходят на двойные ядерные системы.



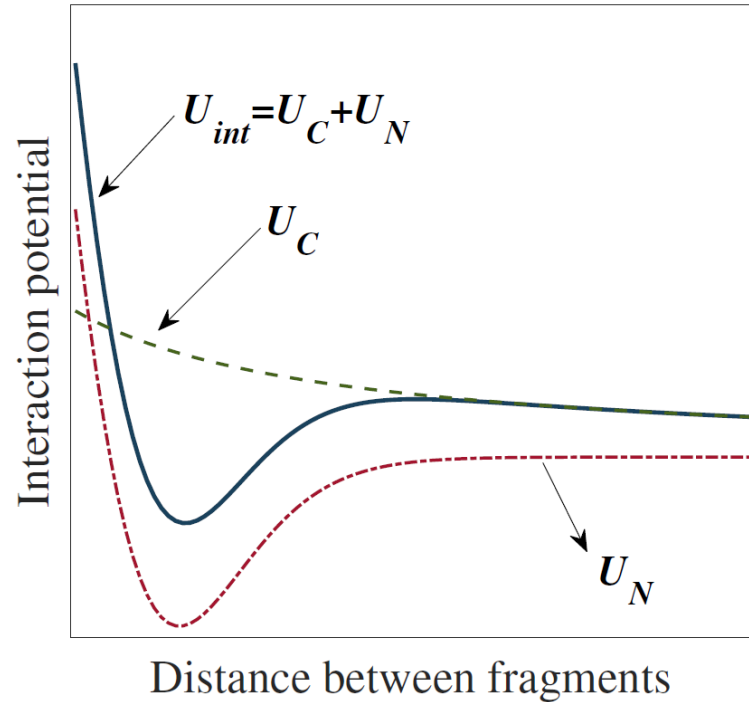
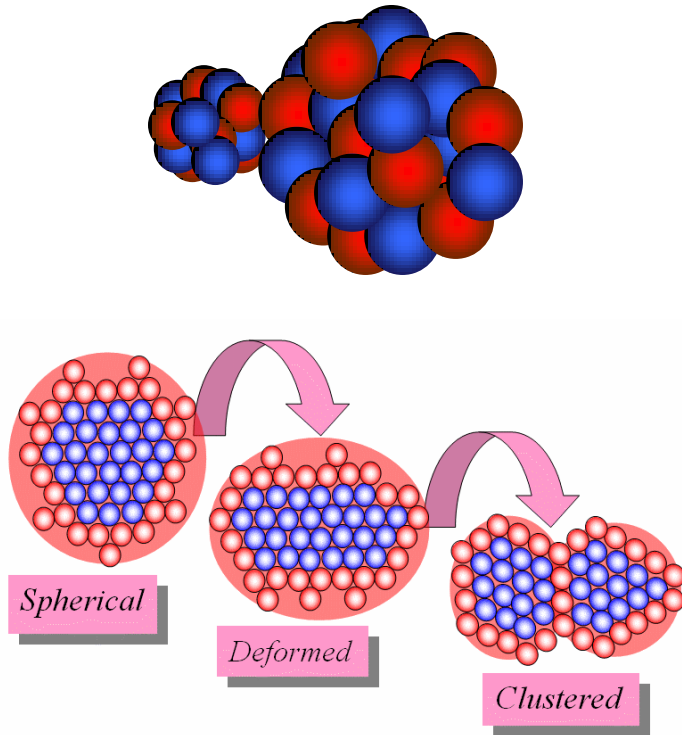
Потенциальная энергия ядра как функция β_2 вдоль пути деления (барьер деления).



Форма ядра в третьем минимуме (HD) барьера деления

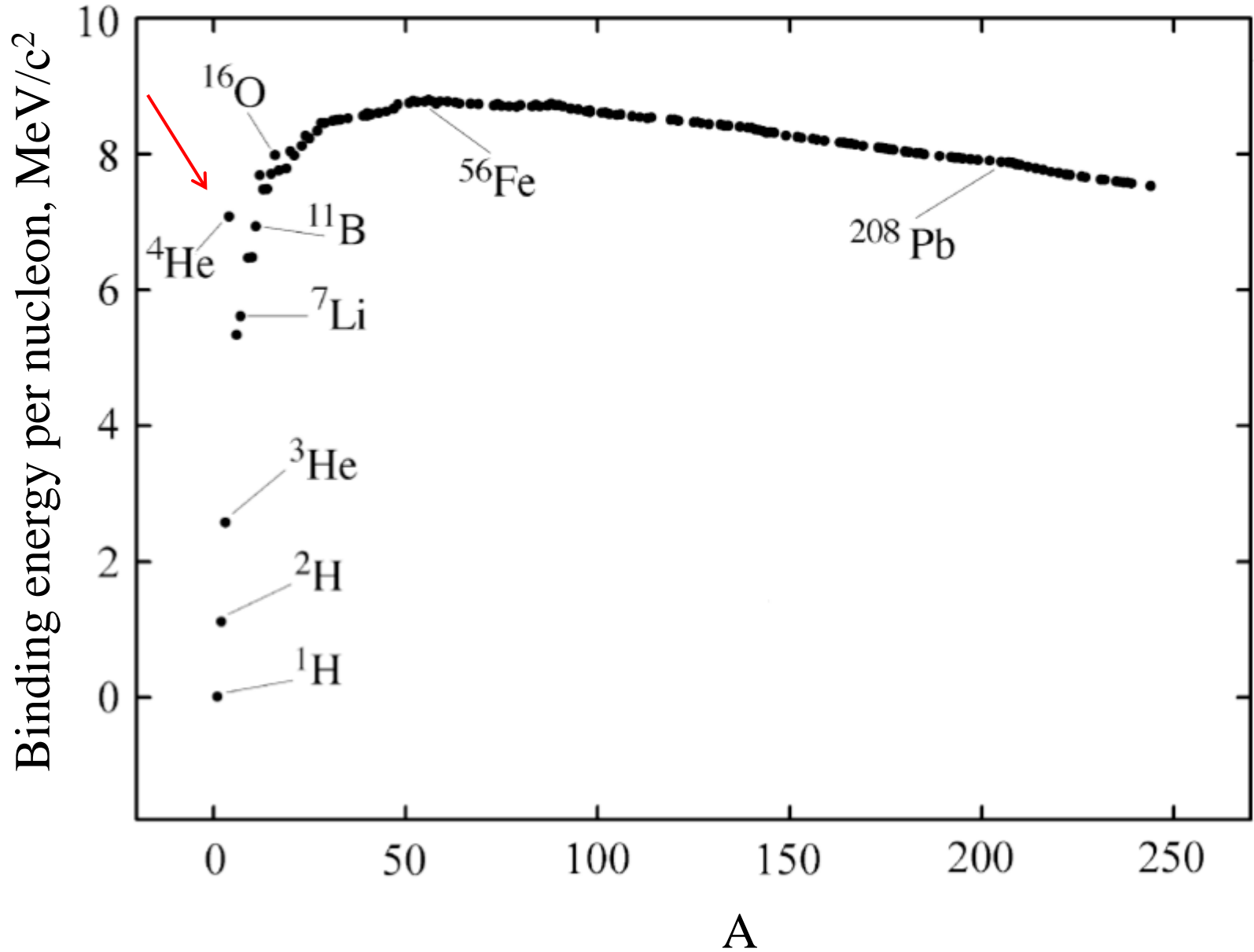
Dinuclear System

Dinuclear System (Nuclear Molecule) - two clusters in touching



$$V = -B(A_1, Z_1) - B(A_2, Z_2) + V_N(R, \{A_i, Z_i\}) + V_C(R, \{A_i, Z_i\})$$

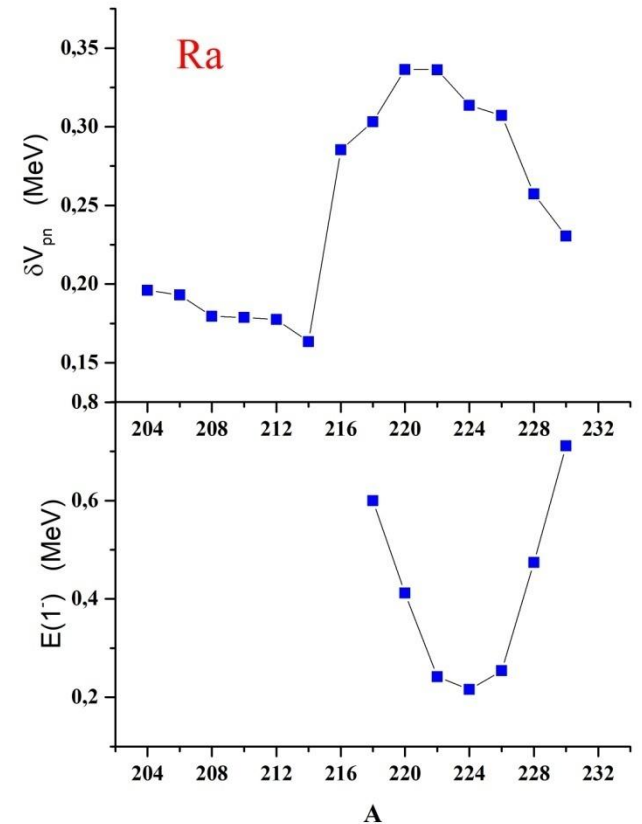
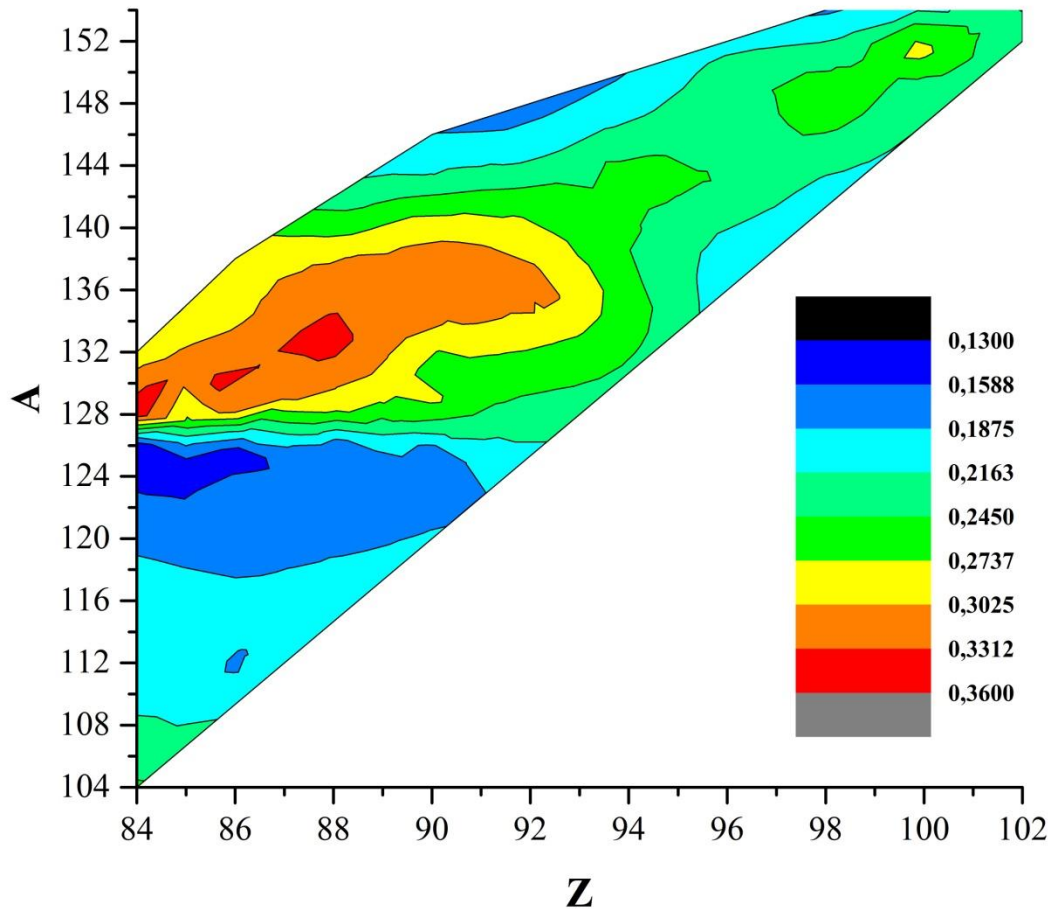
Binding Energy of Nucleus



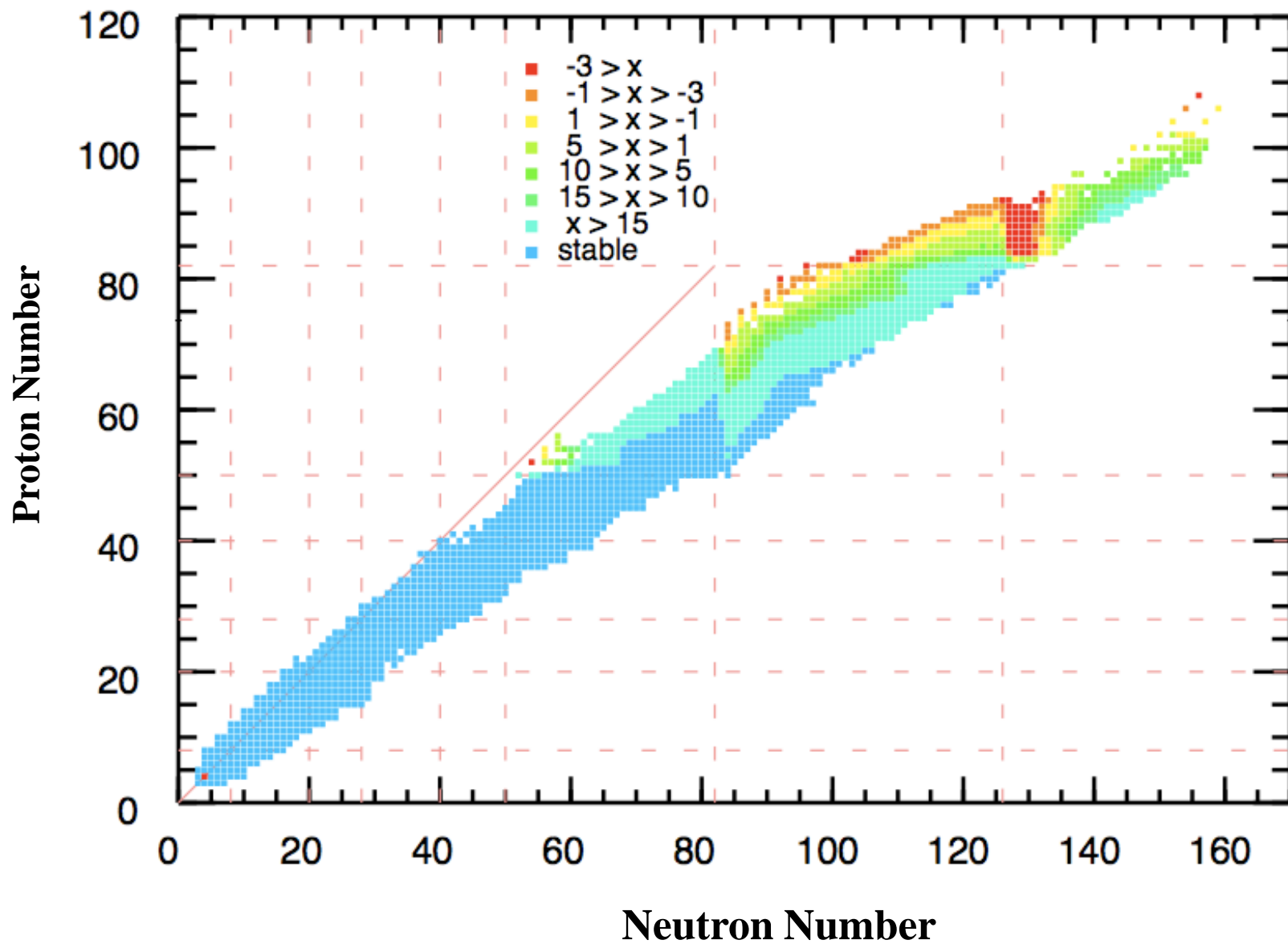
Роль альфа-кластеризации

$$\begin{aligned}\delta V_{pn} &= -0.25[B(Z, N) - B(Z, N - 2) - B(Z - 2, N) + B(Z - 2, N - 2)] \\ &= -0.25[S_{2n} + S_{2p} - S_{\alpha}]\end{aligned}$$

R.F. Casten & R.B. Cakirli. Phys. Scri 91. 033004 (2016)



Альфа-распад



α -распад

Одним из наиболее прямых указаний на кластеризацию в тяжелых ядрах является существование α - и кластерных распадов.

Период полураспада

$$T_{1/2} = \frac{\hbar \ln 2}{\Gamma}$$

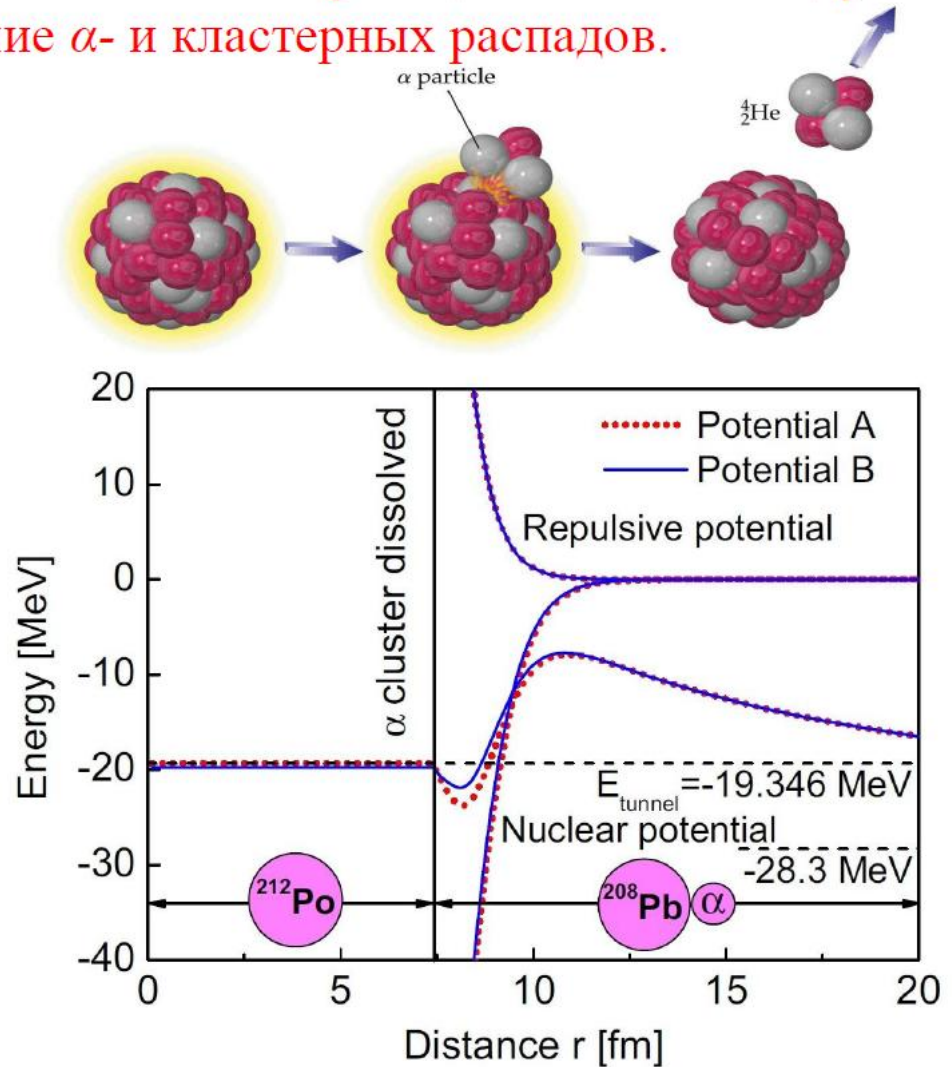
Ширина распада

$$\Gamma = \frac{\hbar \omega_\alpha}{\pi} S_\alpha P_\alpha$$

ω_α - частота соударений

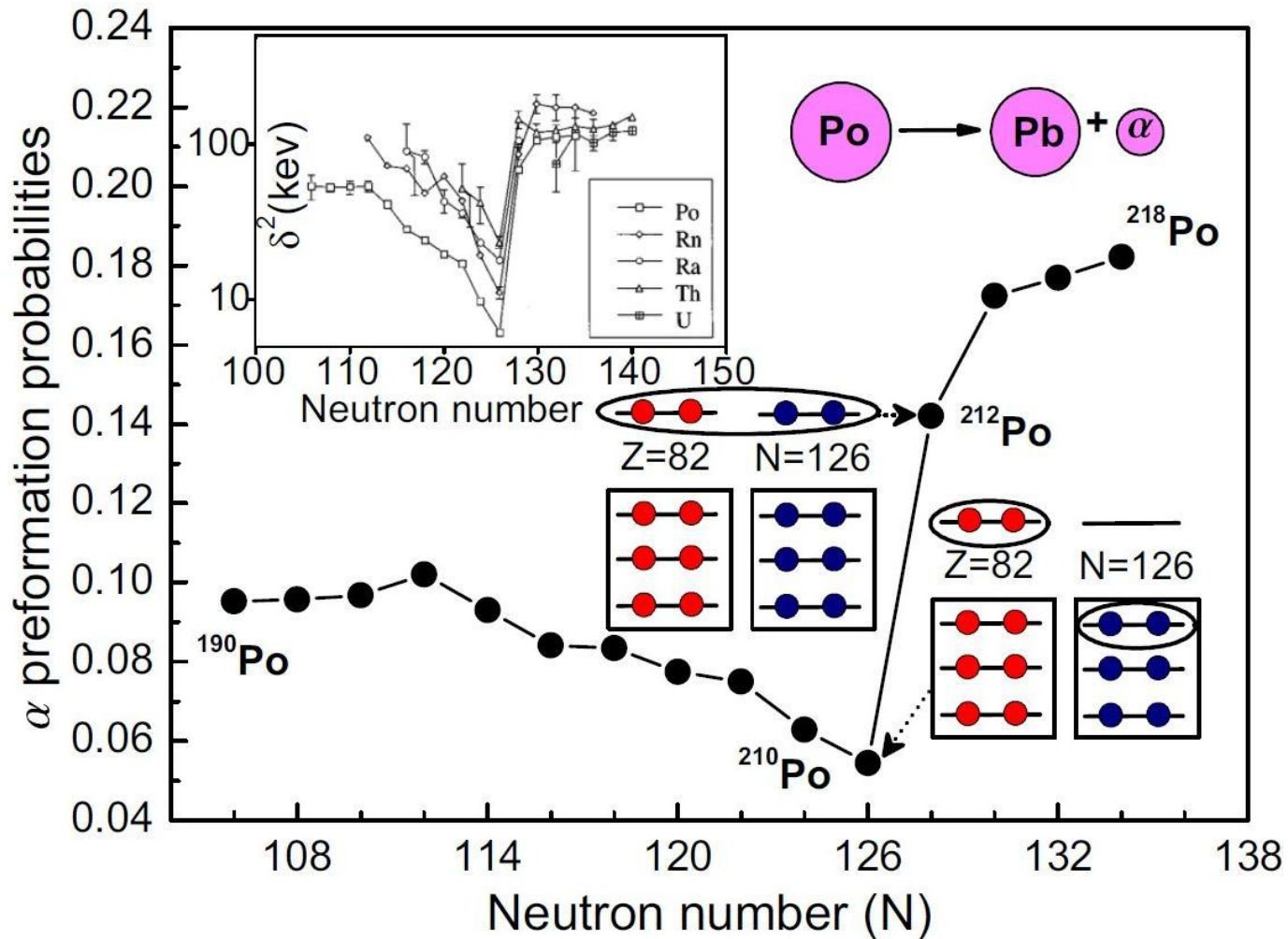
S_α - спектроскопический фактор

P_α - вероятность туннелирования



A. Tohsaki, H. Horiuchi, P. Schuck, and G. Röpke, PRL, **87**, 192501 (2001).

Спектроскопические факторы



α -распад и октупольные корреляции в актинидах

- В актинидах наблюдаются очень малый фактор запрета для альфа-распада из основного состояний ядра в низколежащие 1^- состояния дочернего ядра.

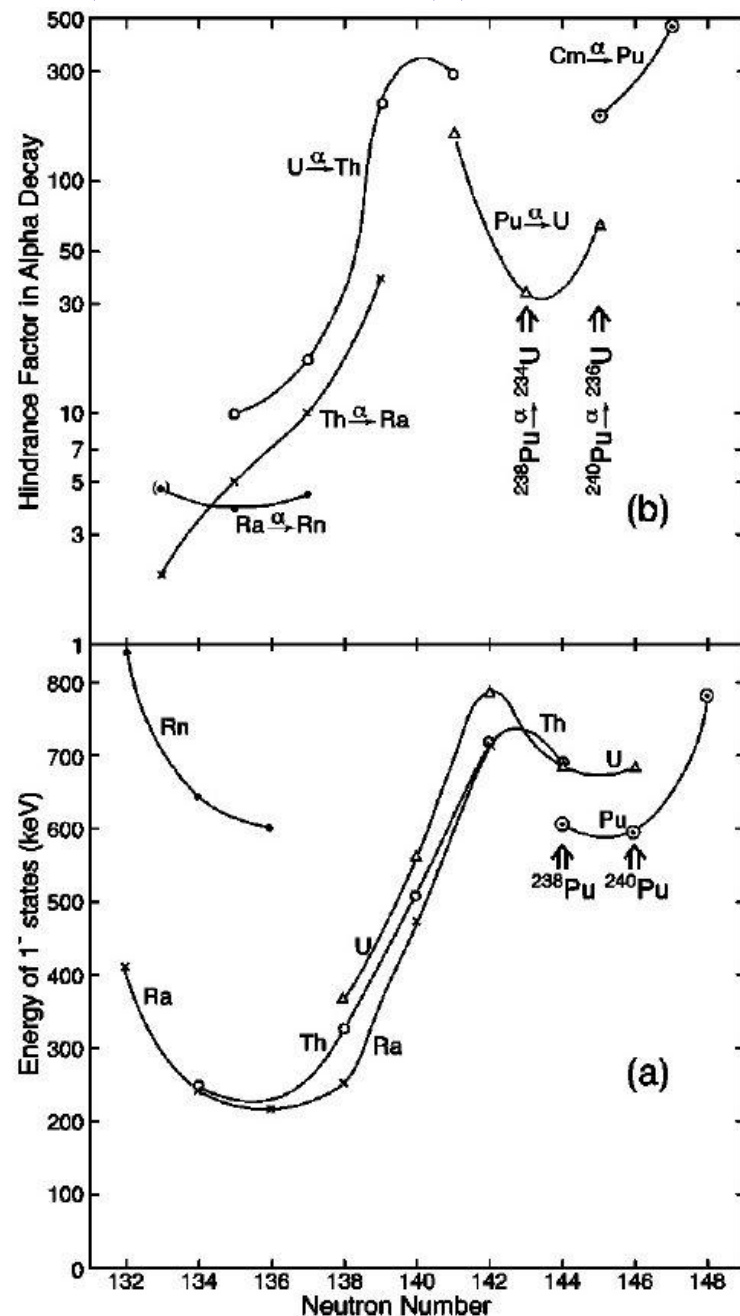
(R.K. Sheline, M. A. Riley, *PRC* **61**, 057301 (2000))

- Природа этих состояний связана с возбуждением коллективной моды, нарушающей зеркальную симметрию ядра (октупольные колебания).

(K. Alder, A. Bohr, T. Huus, B. Mottelson, A. Winther, *Rev. Mod. Phys.* **28**, 432 (1956).

- Формирование кластера на поверхности ядра \rightarrow зеркальная асимметрия.

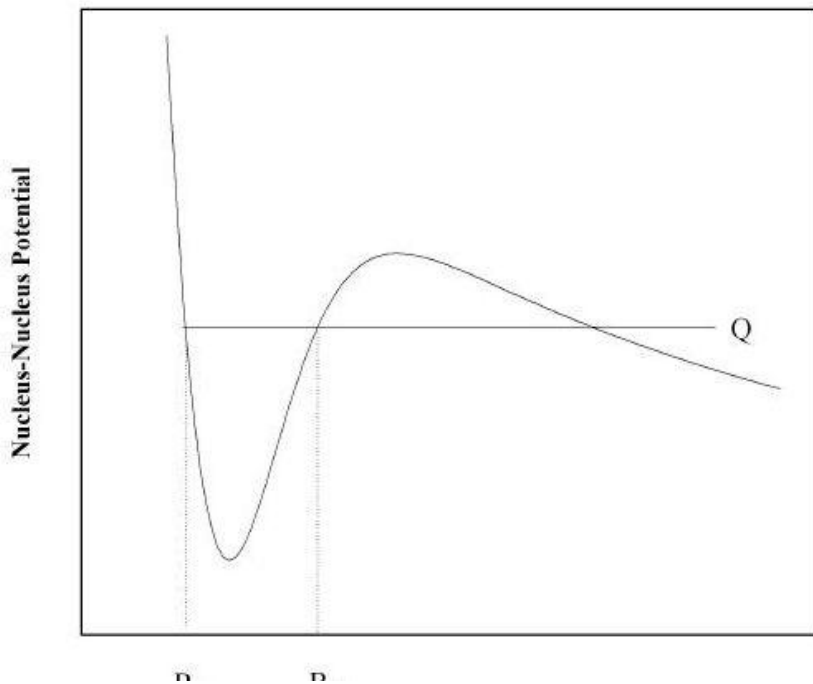
(T.M. Shneidman, G.G. Adamian, N.V. Antonenko, R.V. Jolos, W. Scheid, *PLB* **526**, 322 (2002).



WKB Approximation

According to the WKB approximation the probability

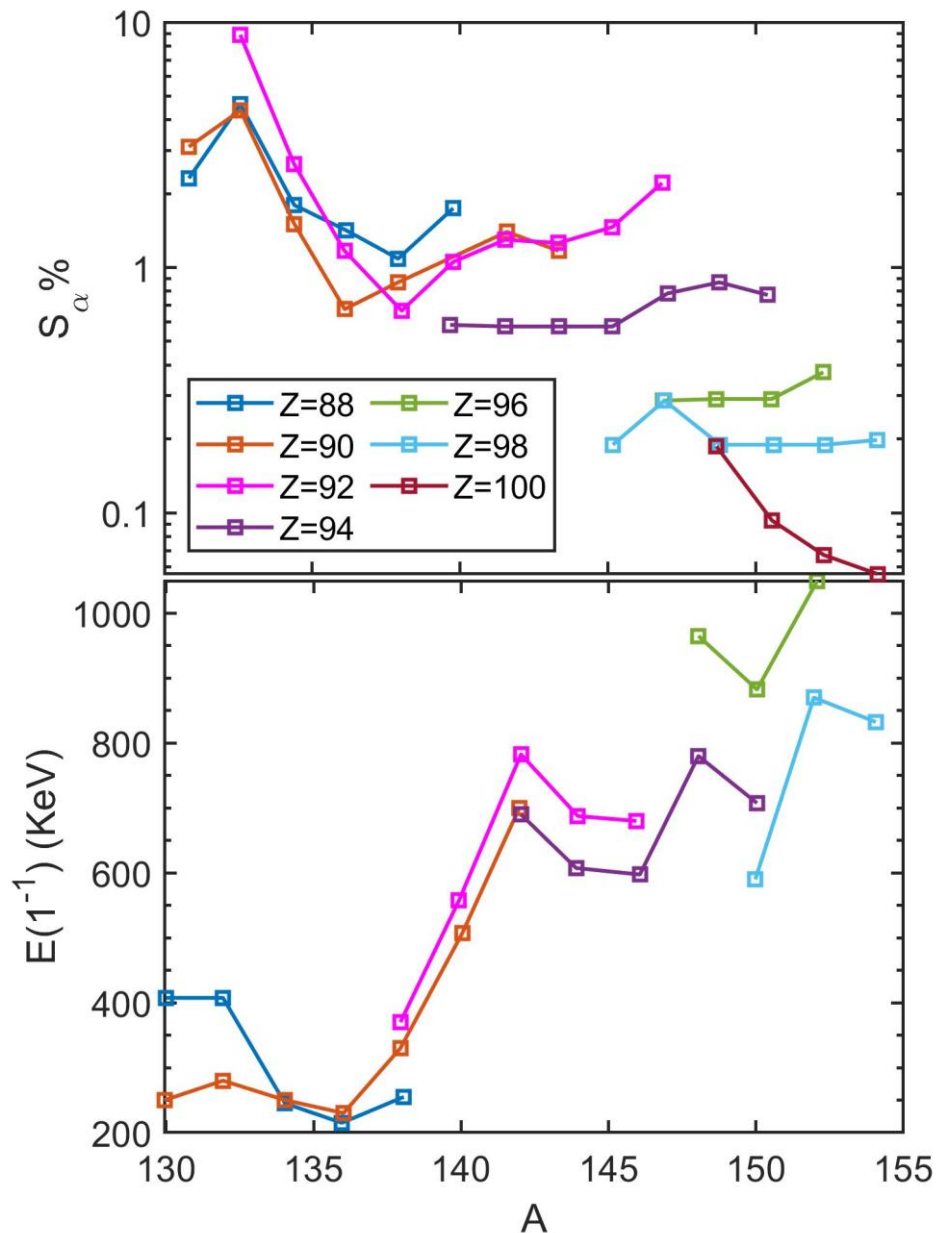
$$P_\alpha = \exp \left[-\frac{2}{\hbar} \int_{R_1}^{R_2} \sqrt{2\mu(U(R, \eta_\alpha) - Q)} \right]$$



R_1, R_2 – are the turning points of the WKB action integral determined by the equation

$$U(R_{1,2}, \eta_\alpha) = Q$$

α -распад и октупольные корреляции в актинидах



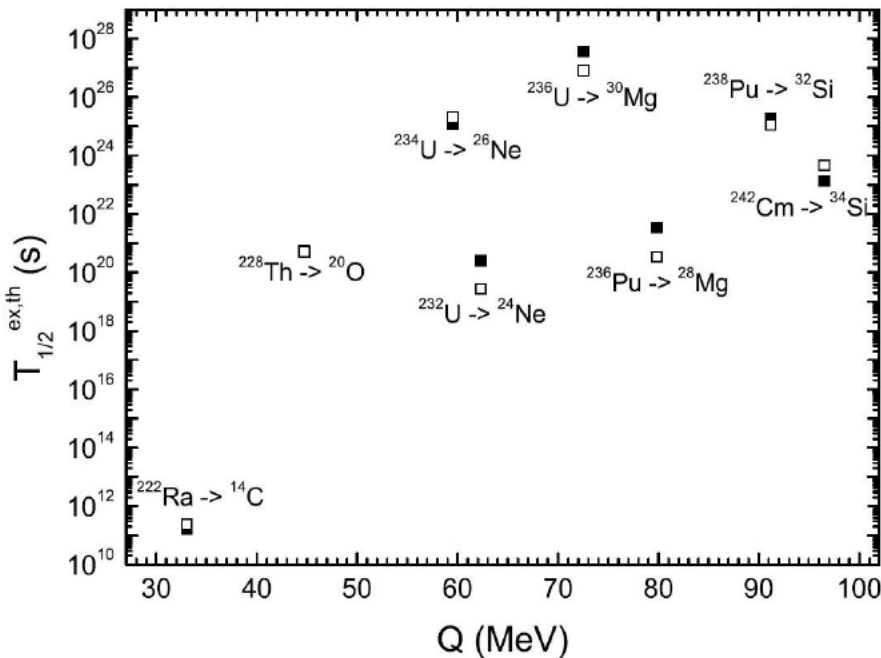
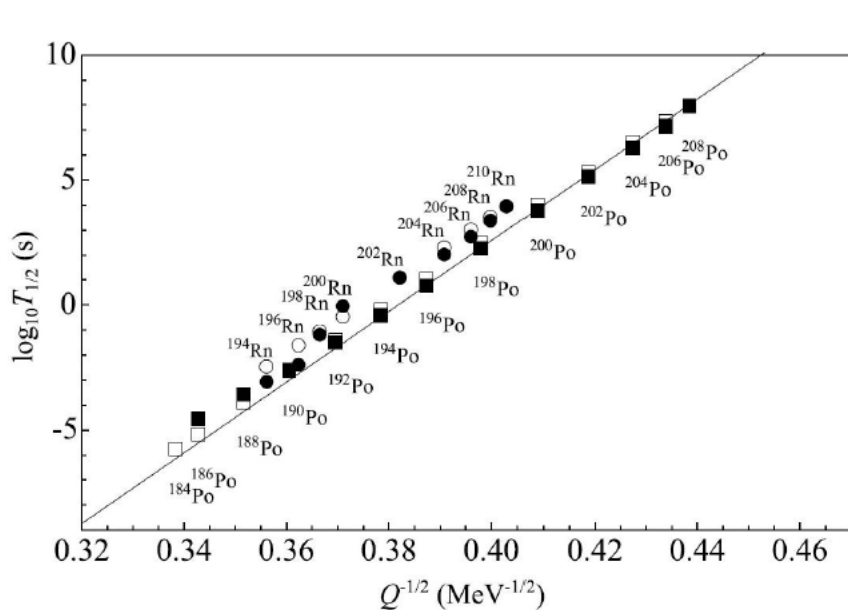
Величина спектрофактора α -частицы может быть рассчитана из экспериментальных данных по временам жизни ядер по отношению к α -распаду.

$$S_\alpha = T_{1/2}^{\text{exp}} / T_{1/2}^\alpha$$

α - и кластерный распады

Спектроскопический фактор можно связать с весом кластерной системы
в полной волновой функции ядра

$$\Psi(r_1, r_2, \dots) = \Psi_m(r_1, r_2, \dots) + S_\alpha^{1/2} \Psi_\alpha(r_1, r_2, \dots) + \dots + S_C^{1/2} \Psi_C(r_1, r_2, \dots) + \dots$$



кластерная модель-1

--H. Schultheis, R. Schultheis and K. Wildermuth, *PLB.* 53 325 (1974).

--Wildermuth and Tang, *A unified theory of the nucleus*, Vieweg, Braunschweig, 1977

$$\Psi\left(\vec{r}_1, \dots, \vec{r}_{A_0}, t\right) = \sum_h \sum_{ijk} a_{ijk}^h(t) \psi_{ijk}^h\left(\vec{r}_1, \dots, \vec{r}_{A_0}\right),$$

$$\psi_{ijk}^h\left(\vec{r}_1, \dots, \vec{r}_{A_0}\right) = \hat{A} \left[\phi_i(A_h) \phi_j(A_l) \chi_k(\vec{R}) \right]$$

- Кластерное разложение допускает любые перекрытия кластеров. Если перекрытие сильное, кластеры диссоциируют.
- 1) **кластеры разделены в импульсном пространстве** → сильно перекрыты в координатном пространстве ($\mathbf{R} \approx \mathbf{0}$) → нет связи с формой ядра;
- 2) **кластеры разделены в координатном пространстве** → относительное движение сильно возбуждено → кластеры в слабо возбужденных состояниях → напрямую связано с формой ядра → приводит к появлению деформации, нарушающей зеркальную симметрию, сильнодеформированных состояний.

кластерные модели-2

$$\Psi(\vec{r}_1, \dots, \vec{r}_{A_0}; s_\alpha) = \Phi_I(\vec{r}_1, \dots, \vec{r}_{A_0}; s_\alpha) + \Phi_{II}(\vec{r}_1, \dots, \vec{r}_{A_0}; s_\alpha),$$

$s_\alpha = (\alpha_1, \alpha_2, \dots)$ - набор коллективных координат.

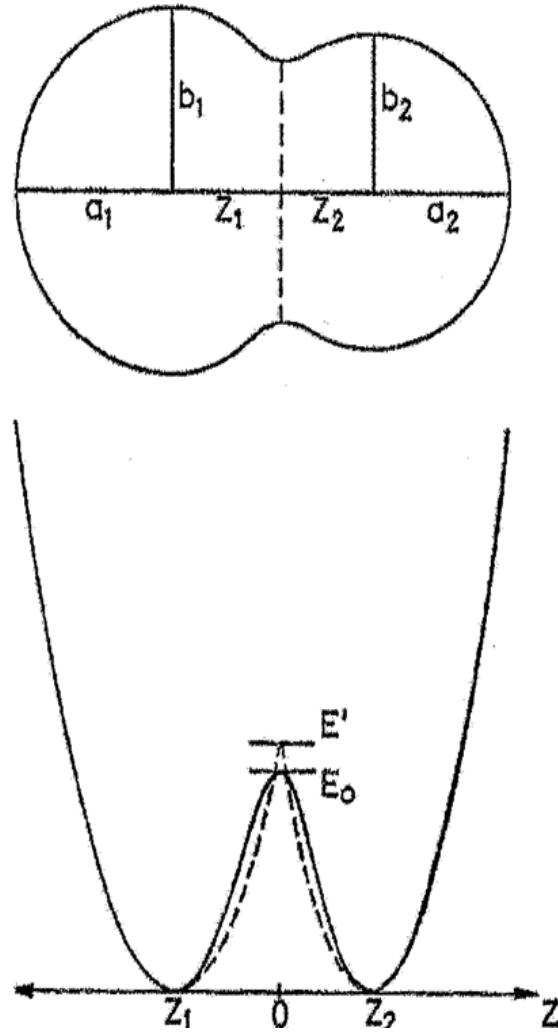
$\Phi_I(\vec{r}_1, \dots, \vec{r}_{A_0}; s_\alpha)$ - перекрывающиеся кластеры,

$\Phi_{II}(\vec{r}_1, \dots, \vec{r}_{A_0}; s_\alpha)$: кластеры в касательной конфигурации

→ поверхностная область

$$\Psi(r_1, r_2, \dots) = \Psi_I(r_1, r_2, \dots) + S_\alpha^{1/2} \Psi_\alpha(r_1, r_2, \dots) + \dots + S_C^{1/2} \Psi_C(r_1, r_2, \dots) + \dots$$

Двухцентровая модель среднего поля



Двухцентровая модель среднего поля

Модель содержит пять параметров, определяющих среднее поле

$\frac{\omega_{\rho 2}}{\omega_{\rho 1}}$: массовая асимметрия

$\frac{\omega_{z i}}{\omega_{\rho i}}$ ($i = 1, 2$): деформации фрагментов

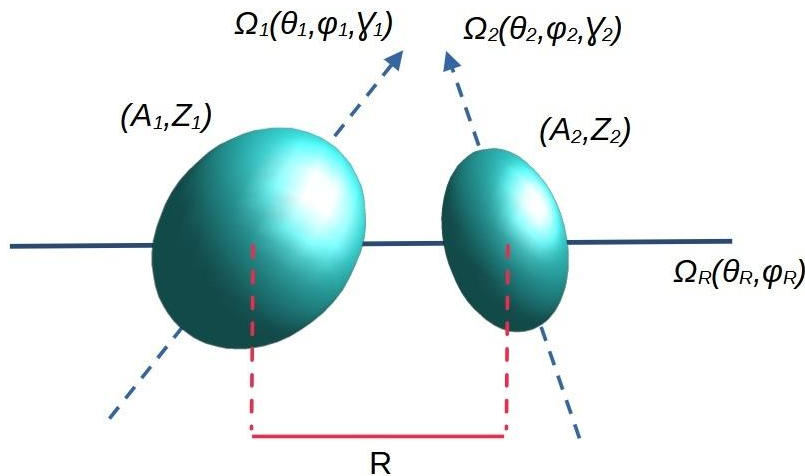
$z_2 - z_1$: расстояние между центрами фрагментов

$\frac{E_0}{E'}$: параметр шейки, позволяющий менять высоту барьера между фрагментами

$$\left(E' = \frac{1}{2} m_N \omega_{z1} z_1^2 = \frac{1}{2} m_N \omega_{z2} z_2^2 \right)$$

Кластерная модель ДЯС

Волновая функция ядра представляется как суперпозиция компонент, отвечающих различным двойным ядерным системам $(A_1, Z_1) + (A_2, Z_2)$, включая компоненту моноядра $(A_1=A, Z_1=Z) + (A_2=0, Z_2=0)$.



Массовая асимметрия: $\xi = \frac{2A_2}{A_1 + A_2}$

Зарядовая асимметрия: $\xi_Z = \frac{2Z_2}{Z_1 + Z_2}$

Для описания динамики такой системы необходимо учесть:

- *относительное движение фрагментов;*
- *вращение фрагментов;*
- *внутренние возбуждения фрагментов;*
- *обмен нуклонами между фрагментами.*

Кластерная модель ДЯС

Гамильтониан модели ДЯС можно записать как:

$$\hat{T} = -\frac{\hbar^2}{2B(\xi_0)} \frac{1}{\mu^{3/2}(\xi)} \frac{\partial}{\partial \xi} \mu^{3/2}(\xi) \frac{\partial}{\partial \xi} - \frac{\hbar^2}{2\mu(\xi)} \frac{1}{R^2} \frac{\partial}{\partial R} R^2 \frac{\partial}{\partial R} \\ + \frac{\hbar^2}{2\mu(\xi)R^2} \hat{l}_0^2 + \frac{\hbar^2}{2} \sum_{n=1}^2 \sum_{k=1}^3 \frac{\hat{l}_{(n)k}^2}{I_k^{(n)}(\beta_n, \gamma_n)} + H_1^{(\text{intr})} + H_2^{(\text{intr})} + V(\xi, Q_2^{(1)}, Q_2^{(2)}, \dots)$$

Потенциальная энергия взаимодействия между кластерными степенями свободы и степенями свободы фрагментов:

$$V(\xi, Q_2^{(1)}, Q_2^{(2)}, \dots) = V_0(\xi) + V_{21}(\xi)(Q_2^{(1)} \cdot Y_2(\Omega_R)) + V_{22}(\xi)(Q_2^{(2)} \cdot Y_2(\Omega_R))$$

Потенциальная энергия двойной ядерной системы

$$U(R, \xi, \beta_2^{(1)}, \beta_2^{(2)}) = B_1(\beta_2^{(1)}) + B_2(\beta_2^{(2)}) + V(R, \xi, \beta_2^{(1)}, \beta_2^{(2)})$$

$B_1(\beta_2^{(1)}), B_2(\beta_2^{(2)})$ - энергии связи фрагментов

Ядро-ядерный потенциал:

$$V(R, \xi, \beta_2^{(1)}, \beta_2^{(2)}) = V_{coul}(R, \xi, \beta_2^{(1)}, \beta_2^{(2)}) + V_{nucl}(R, \xi, \beta_2^{(1)}, \beta_2^{(2)})$$

Кулоновский потенциал:

$$V_{coul}(R, \xi, \beta_2^{(1)}, \beta_2^{(2)}) = \frac{e^2 Z_1 Z_2}{R} + \frac{3}{5} \frac{e^2 Z_1 Z_2}{R^3} \sum_{i=1,2} R_{0i}^2(\beta_2^{(i)}) \cdot Y_2(\Omega_R) + \dots$$

Ядерное взаимодействие

Потенциал двойной свертки: (G. G. Adamian et al., IJMPЕ 5, 191 (1996).)

$$V_{nucl}(R, \xi, \beta_{2\mu}) = \int \rho_1(r_1) \rho_2(R - r_2) F(r_1 - r_2) dr_1 dr_2,$$

с зависящими от плотности силами (силы Мигдала):
А. В. Migdal, Theory of finite Fermi Systems... (Nauka, Moscow, 1982).

$$F(r_1 - r_2) = C_0 \left(F_{in} \frac{\rho_0(r_1)}{\rho_{00}} + F_{ex} \left(1 - \frac{\rho_0(r_1)}{\rho_{00}} \right) \right) \delta(r_1 - r_2),$$

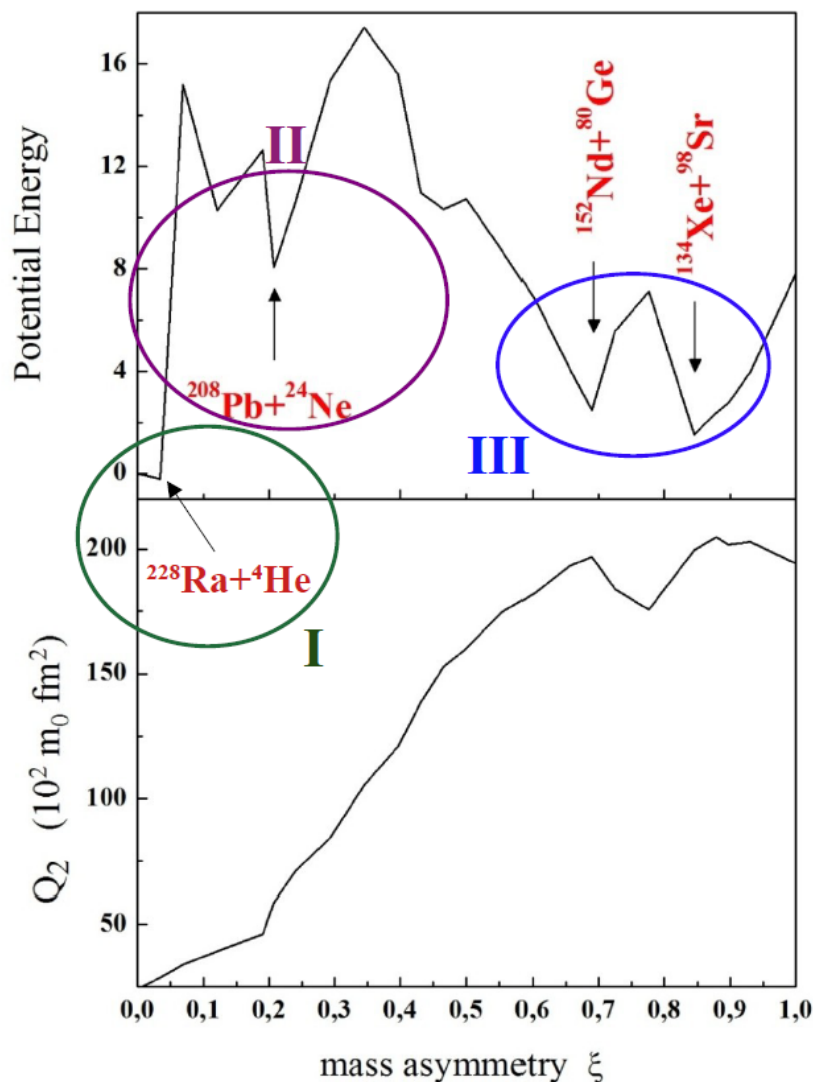
$$F_{in,ex} = (f_{in,ex} + f'_{in,ex} \tau_1 \cdot \tau_2) + (g_{in,ex} + g'_{in,ex} \tau_1 \cdot \tau_2) \sigma_1 \cdot \sigma_2$$

$$C_0 = 300 \text{ MeV fm}^3, \quad f_{in,ex} = 0.09(-2.59), \quad f'_{in,ex} = 0.42(0.54)$$

$$\rho_0(r) = \rho_1(r) + \rho_2(r).$$

Плотности взяты в виде распределения Ферми.

Потенциальная энергия для ^{232}U как функция массовой асимметрии.



$$V(\xi) = B_1(\xi) + B_2(\xi) + V_N(R, \xi) + V_C(R, \xi)$$

I: свойства основного состояния, α -распад

II: СД-состояния, Кластерный распад

III: ГД-состояния, деление

Гамильтониан ДЯС

При описании низкоэнергетических возбуждений вблизи основного состояния чётно-чётных ядер модель можно упростить, т.к. основной вклад в волновую функцию дают компоненты моноядра и α -ДЯС.

---- *Легкий фрагмент можно взять сферическим в основном состоянии с $Z=N$.*

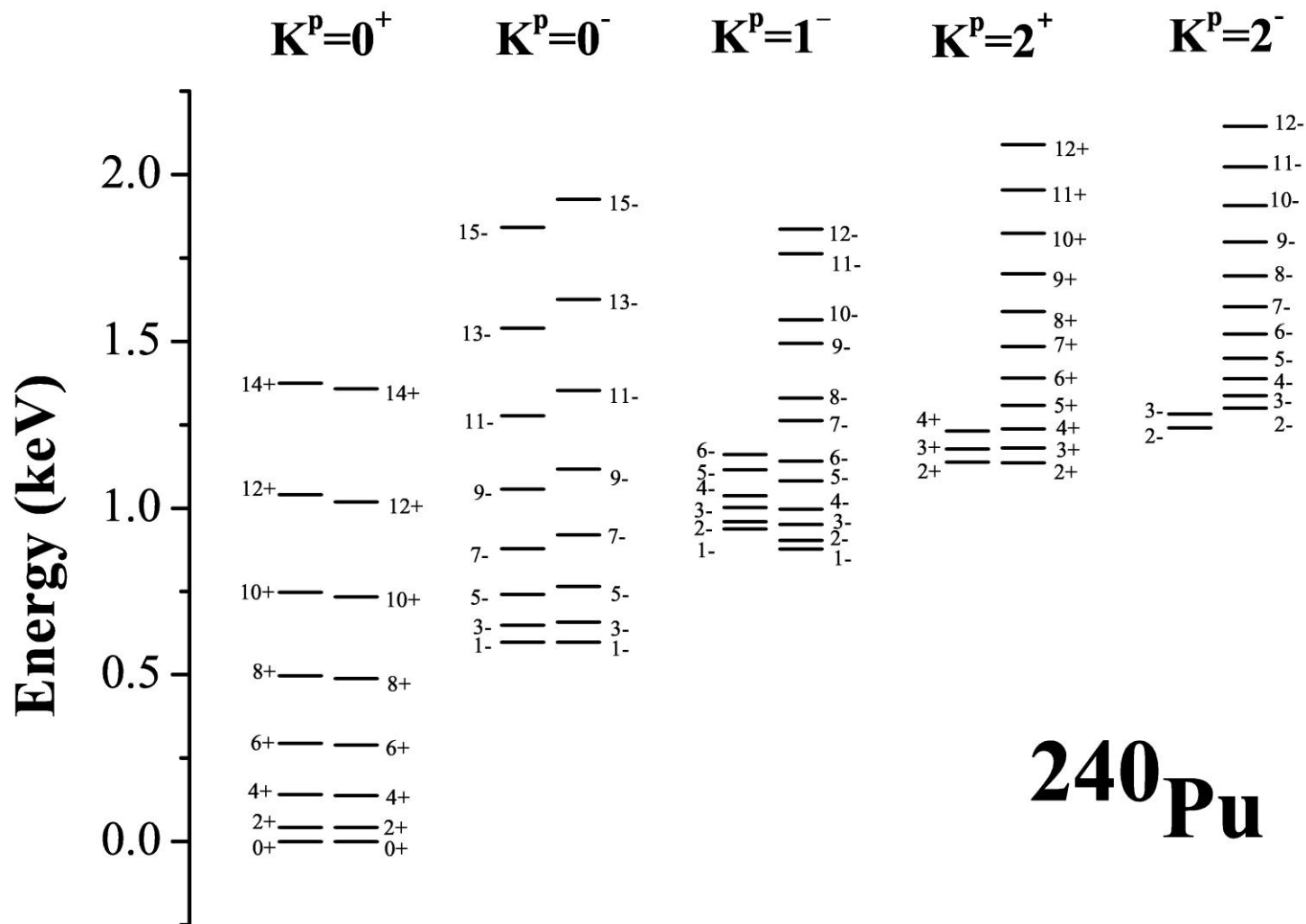
---- *Для тяжелого фрагмента учитываем только возбуждения, связанные с коллективными квадрупольными колебаниями и вращением.*

$$\begin{aligned} \hat{T} = & -\frac{\hbar^2}{2B(\xi_0)} \frac{1}{\mu(\xi)} \frac{\partial}{\partial \xi} \mu(\xi) \frac{\partial}{\partial \xi} \\ & + \frac{\hbar^2}{2\mu(\xi)R^2} \hat{l}_0^2 + \frac{\hbar^2}{2} \sum_{k=1}^3 \frac{\hat{l}_k^2}{I_k(\beta, \gamma)} \quad (\equiv \hat{T}_{rot}) \\ & - \frac{\hbar^2}{2} \frac{1}{D_n(\xi_0)} \left(\frac{1}{\beta^4} \frac{\partial}{\partial \beta} \beta^4 \frac{\partial}{\partial \beta} + \frac{1}{\beta^2} \frac{1}{\sin 3\gamma} \frac{\partial}{\partial \gamma} \sin 3\gamma \frac{\partial}{\partial \gamma} \right) \\ & (\equiv \hat{T}_{int r}) \end{aligned}$$

$$V(\xi) = V_0(\xi) + V_{int}(\xi)(\beta_2 \cdot Y_2(\Omega_R))$$

Спектр возбуждений ^{240}Pu

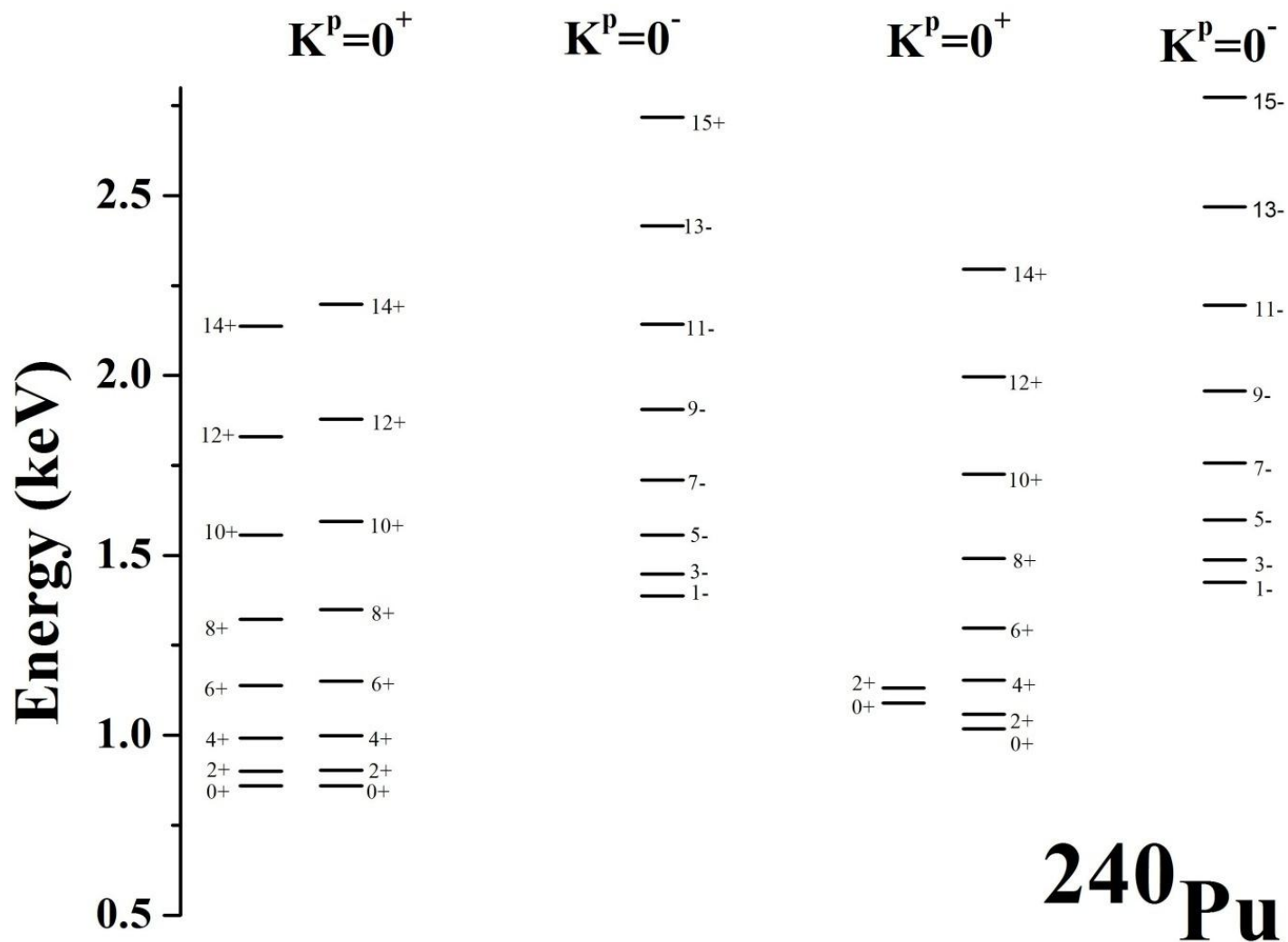
(эксп. данные: <http://www.nndc.bnl.gov/ensdf/>)



^{240}Pu

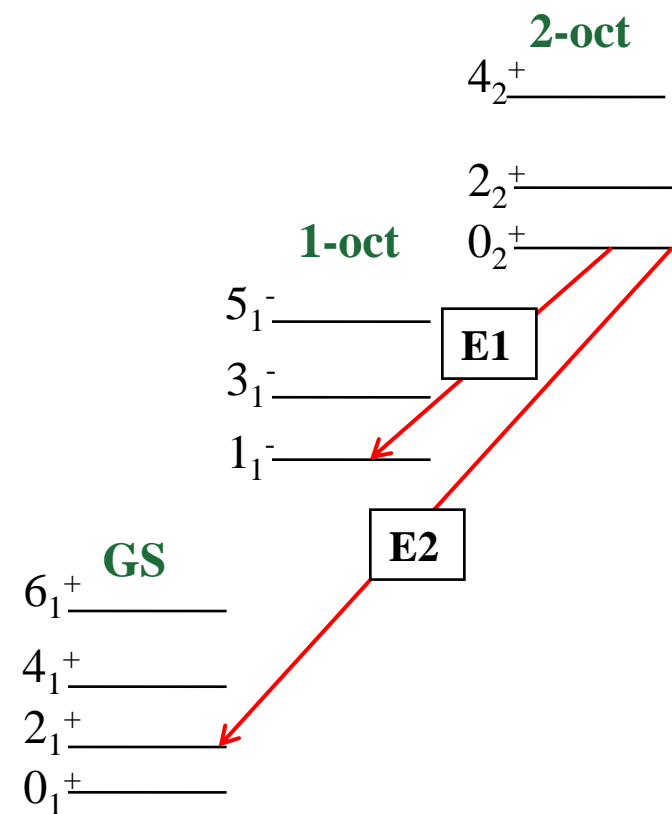
Спектр возбуждений ^{240}Pu - продолжение

(эксп. данные: <http://www.nndc.bnl.gov/ensdf/>)



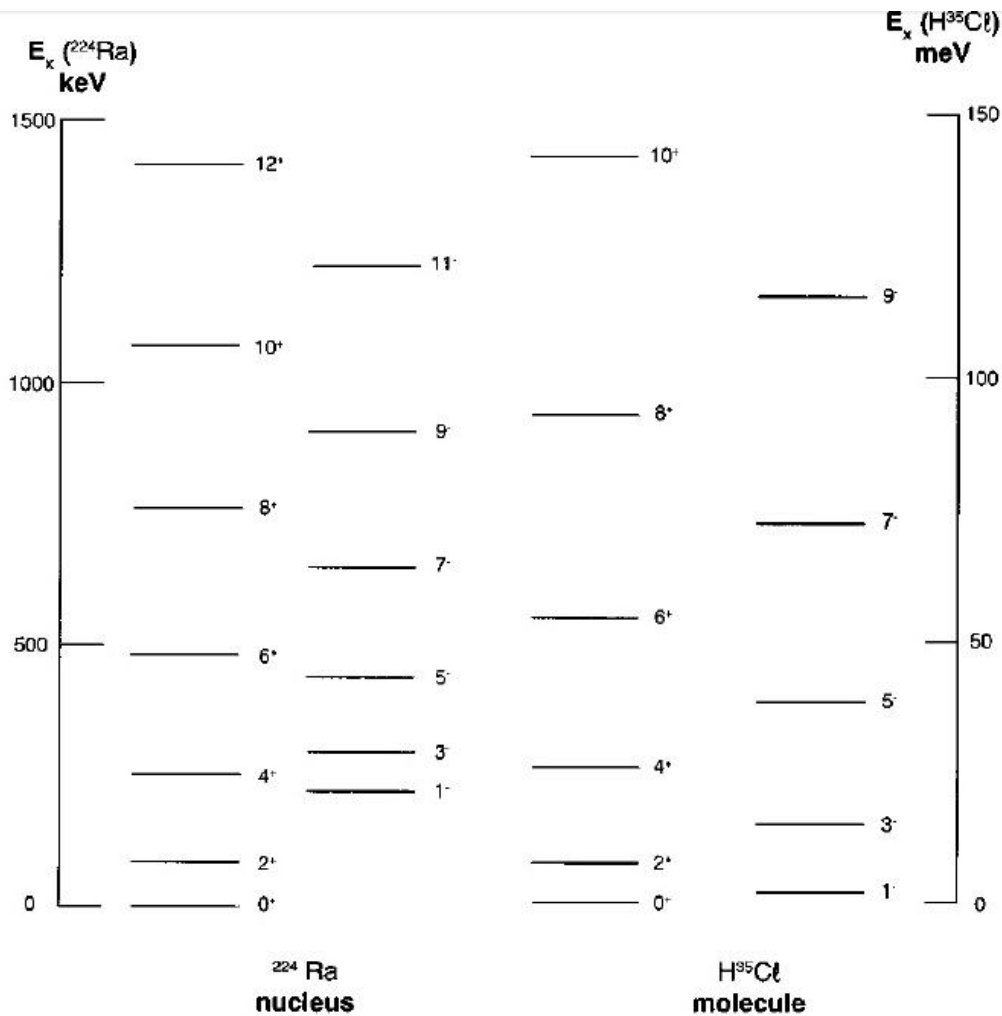
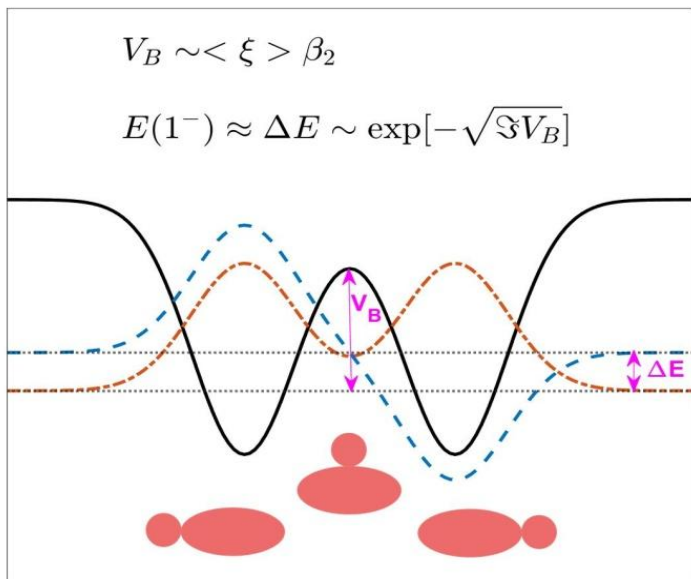
Электромагнитные переходы из состояний, построенных на возбужденном 0^+ уровне ^{240}Pu .

Экспериментальные отношения $R_{exp} = B(E1)/B(E2)$
в сравнении с рассчитанными в модели ДЯС.

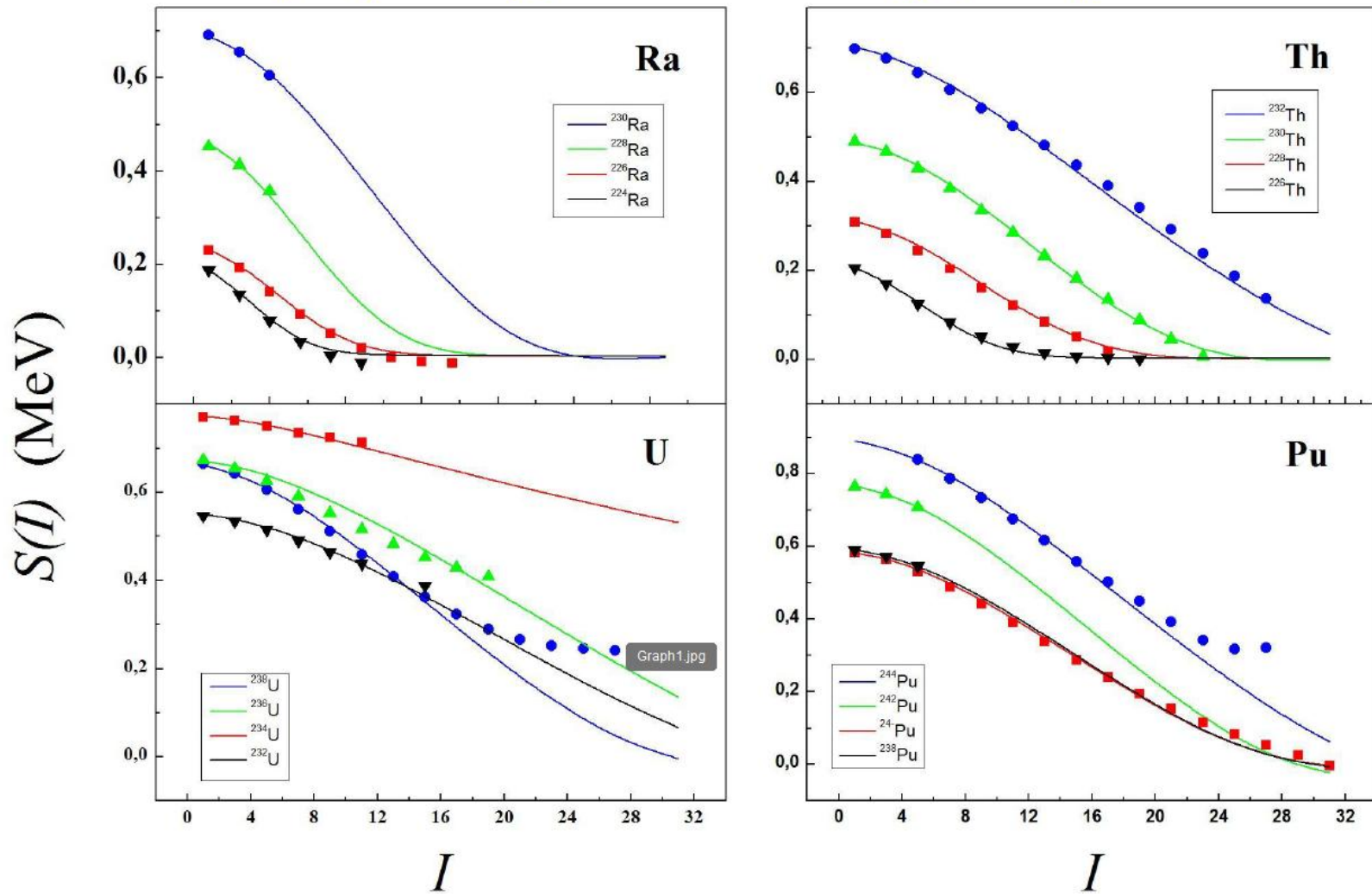


I_i^π	$I_{f,E1}^\pi$	$I_{f,E2}^\pi$	R_{exp} (10^{-6} fm^{-2})	R_{DNS} (10^{-6} fm^{-2})
0_2^+	1_1^-	2_1^+	13.7(3)	19.17
2_2^+	1_1^-	0_1^+	99(15)	99.95
2_2^+	1_1^-	2_1^+	26(2)	39.15
2_2^+	1_1^-	4_1^+	5.9(3)	8.57
2_2^+	3_1^-	0_1^+	149(22)	165.60
2_2^+	3_1^-	2_1^+	39(2)	64.9
2_2^+	3_1^-	4_1^+	8.9(5)	14.2
4_2^+	3_1^-	6_1^+	4.4(11)	6.9
4_2^+	5_1^-	6_1^+	4.7(13)	10.59

Расщепление по четности



Parity splitting in alternating parity bands



$$S(I^-) = E(I^-) - \frac{(I+1)E_{(I-1)}^+ + IE_{(I+1)}^+}{2I+1}$$

EPJ WC 107, 03009, (2016)

Angular Momentum Dependence of the Parity Splitting

Assumption for wave function

$$\Psi_{LM}(\xi, \Omega_h, \Omega_R) = \Phi(\xi, L) g_{LM}(\xi_0, \Omega_h, \Omega_R)$$

where ξ_0 is the average mass asymmetry.

Hamiltonian in mass asymmetry

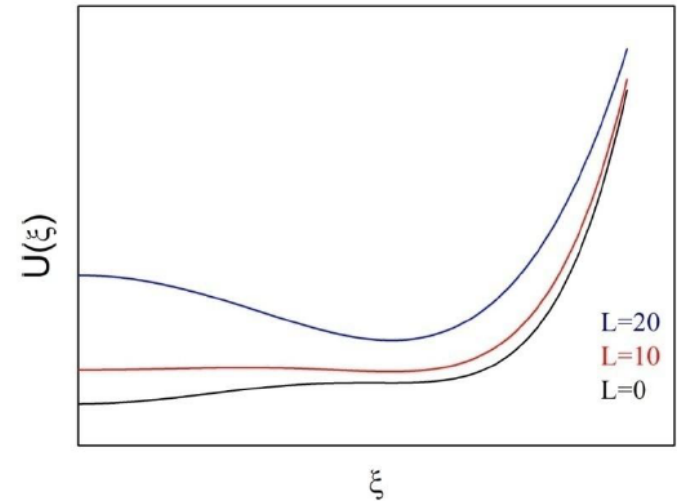
$$H(\xi, L) = -\frac{\hbar^2}{2B} \frac{1}{\xi^{3/2}} \frac{\partial}{\partial \xi} \xi^{3/2} \frac{\partial}{\partial \xi} + U_0(\xi) + \frac{\hbar^2 L(L+1)}{2J(\xi)}$$

$$\xi = 0;$$

$$U(\xi, L) = U(\xi, L=0) + \frac{\hbar^2}{2} \frac{L(L+1)}{J_h}$$

$$\xi = 1;$$

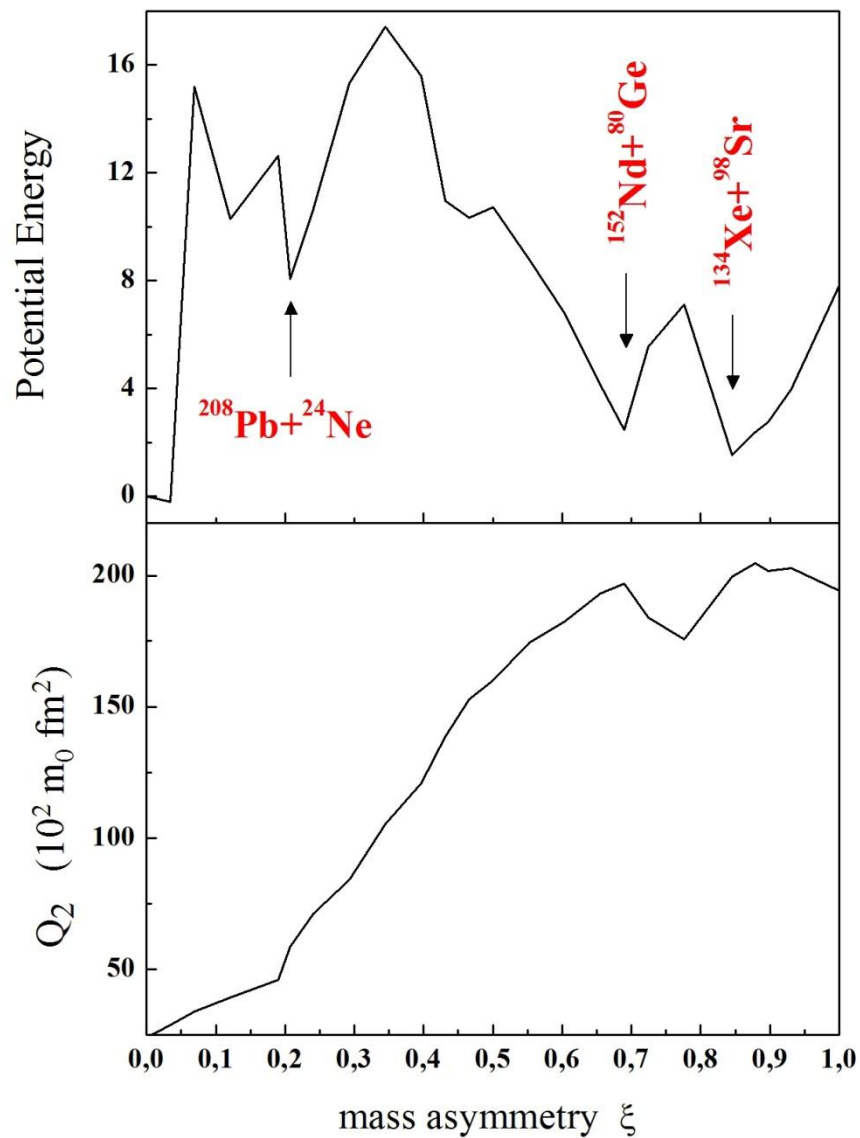
$$U(\xi, L) = U(\xi, L=0) + \frac{\hbar^2}{2} \frac{L(L+1)}{J_{tot}}$$

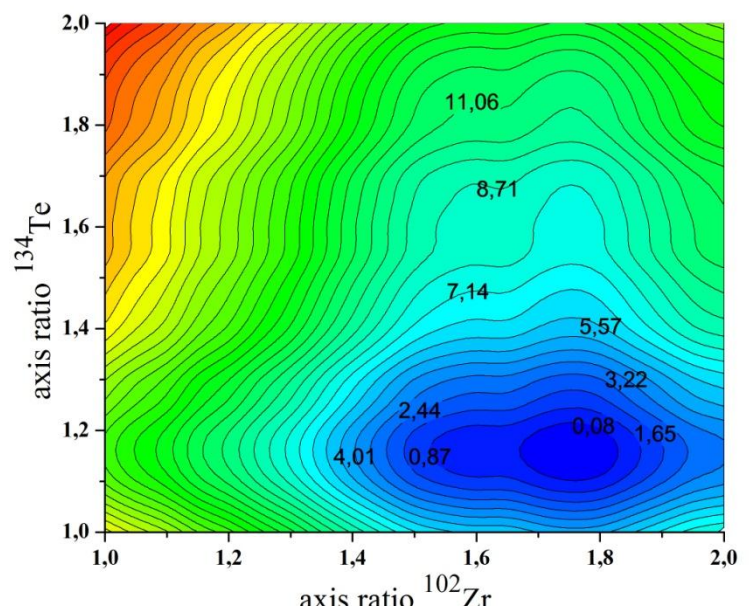
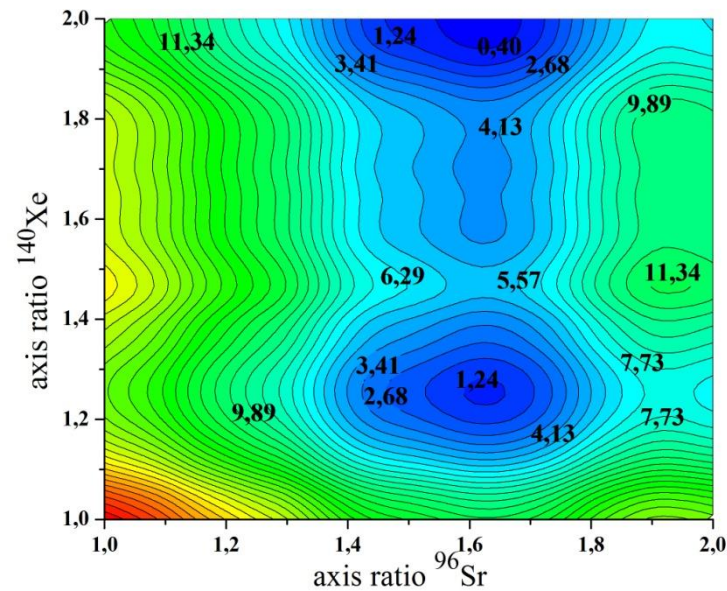
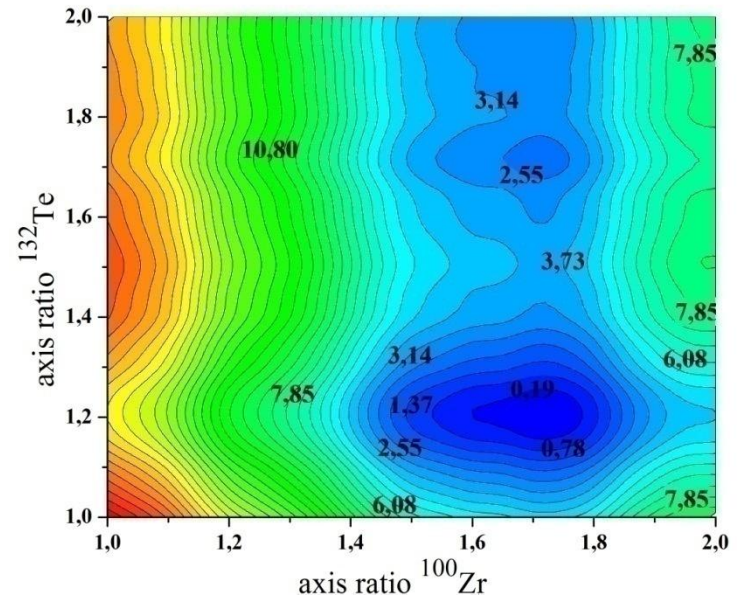
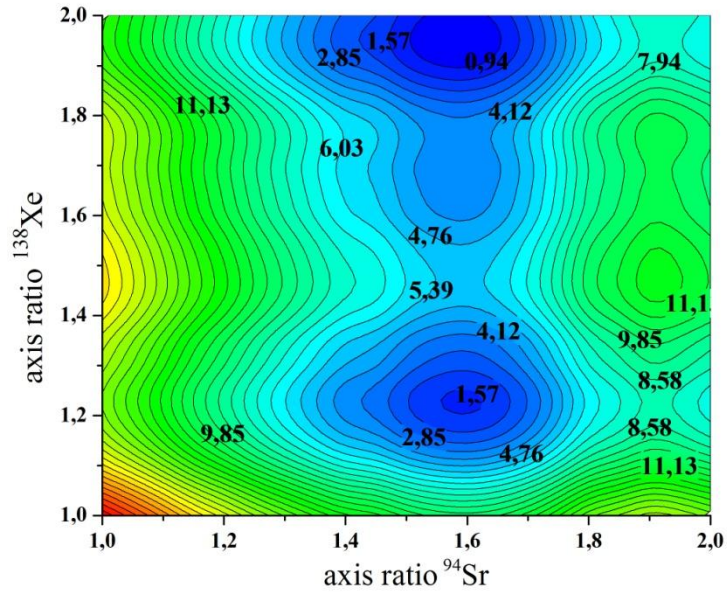


$$J_{tot} > J_h$$

As a result average mass asymmetry ξ_0 increases with angular momentum.

Гипердеформированные (ГД) состояния





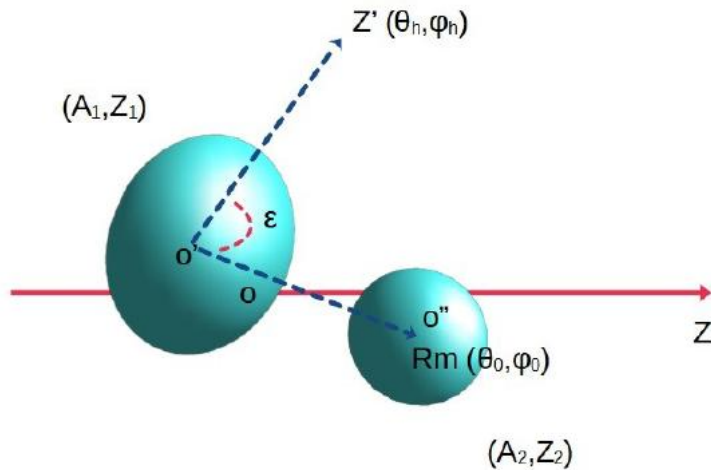
Characteristics of HD minima in U isotopes

Nucleus	^{232}U	^{234}U	^{236}U	^{238}U
DNS	$^{94}\text{Sr}+^{138}\text{Xe}$	$^{96}\text{Sr}+^{138}\text{Xe}$	$^{96}\text{Sr}+^{140}\text{Xe}$	$^{98}\text{Sr}+^{140}\text{Xe}$
Energy (MeV)	3.06	2.6 (3.1±0.4)	2.81 (2.7±0.4)	3.49
Rot. Const. (keV)	1.825 (1.96±0.11)	1.772 (2.1±0.2)	1.751 (2.4±0.4)	1.697
Q_2 (10^2 e fm 2)	92.37	93.021	93.466	96.772
Q_3 (10^3 e fm 3)	29.96	28.48	29.92	27.84

Exp: *L. Csige et al., Journal of Physics: Conference Series 312 (2011) 092022;*
A. Krasznahorkay et. al, AIP Conf. Proc. 819, 439 (2006) .

Calc. *T.M. Shneidman et al., J.Phys.:CS 366, 012046 (2012)*

Спектр возбуждения угловых колебаний в двойных ядерных системах



$$H = H_{\text{rot}} + H_{\text{bend}} + V_{\text{int}},$$

$$H_{\text{rot}} = \frac{\hbar^2}{2\mu R_m^2} (L^2 - 2L'_3),$$

$$H_{\text{bend}} = \frac{\hbar^2}{2\mathfrak{S}_b} \frac{1}{\epsilon} \frac{\partial}{\partial \epsilon} \epsilon \frac{\partial}{\partial \epsilon} + \frac{\hbar^2}{2\mathfrak{S}_b \epsilon^2} L_3'^2 + \frac{C}{2} \epsilon^2,$$

$$V_{\text{int}} = \frac{\hbar^2}{2\mu R_m^2} \left[\frac{1}{\epsilon} (L'_1 L'_3 + L'_3 L'_1) + 2i L'_2 \frac{1}{\sqrt{\epsilon}} \frac{\partial}{\partial \epsilon} \sqrt{\epsilon} \right]$$

Базисные состояния

$$\Psi_{n,L,M,K} = [D_{M,K}^L(\theta_1, \theta_2, \theta_3) + \pi(-1)^{L+K} D_{M,-K}^L(\theta_1, \theta_2, \theta_3)] L_{n,|K|} \left(\frac{\epsilon^2}{\epsilon_0^2} \right)$$

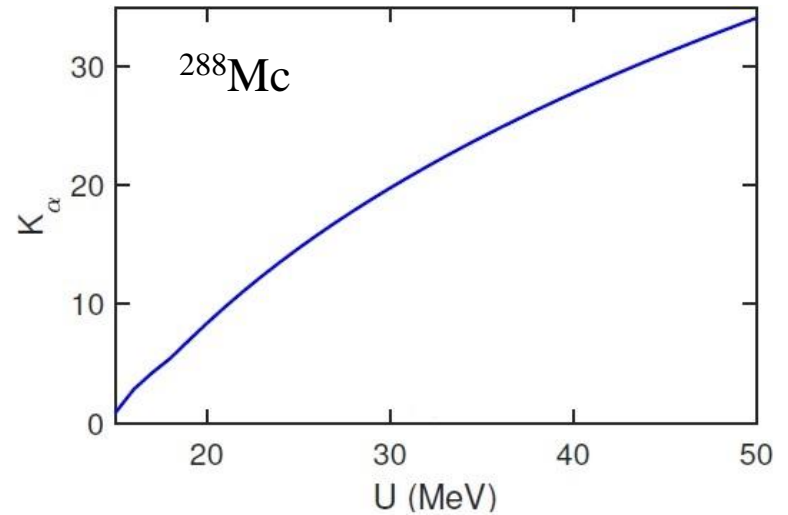
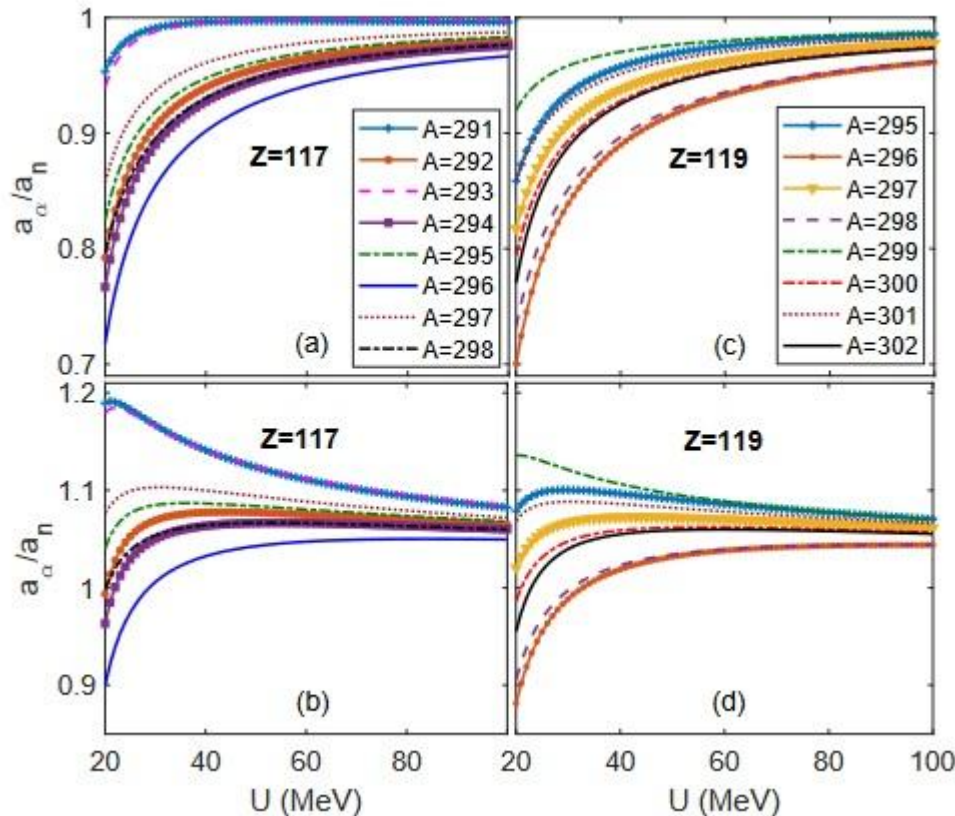
$$E_{L,M,K,n} = \frac{\hbar^2}{2\mu R_m^2} [L(L+1) - 2K^2] + \frac{\hbar^2}{\mathfrak{S}_b \epsilon_0^2} (2n + |K| + 1)$$

Энергетический спектр

$$E_{LMK} = \frac{\hbar^2}{2\mu R_m^2 + \mathfrak{S}_h} [L(L+1) - 2K^2] + \frac{\hbar^2}{\mathfrak{S}_b \epsilon_0^2} (2n + |K| + 1)$$

Влияние коллективного усиления на канал эмиссии α -частиц

$$\rho_{tot} = \sum_c \rho_i(U - U_c) \tau_c(U_c) \approx \rho_i(U) \underbrace{\sum_c \exp\left[-\frac{U_c}{T}\right] \tau_c(U_c)}_{K_{coll}}$$



Phys. Rev. C, **101**, 54315 (2020)
103, 034309 (2021)
105, 044328 (2022)